# министерство геологии ссср

## **МИНИСТЕРСТВО ГЕОЛОГИИ РСФСР**

КРАСНОЯРСКОЕ ТЕРРИТОРИАЛЬНОЕ ГЕОЛОГИЧЕСКОЕ УПРАВЛЕНИЕ

темогической управление служебного померонания 29 б 19 41.

# ГЕОЛОГИЧЕСКАЯ КАРТА СССР

МАСШТАБА 1:200 000

СЕРИЯ ЕНИСЕЙСКАЯ

Лист 0-46-XXIX

Объяснительная записка

Составитель Ю.И. Парфенов Редактор А.С. Аладышкин

Утверждено филиалом Научно-редакционного совета ВСЕГЕИ при СНИИГГИМС 27 марта 1964г., протокол №5

### ВВЕДЕНИЕ

Площадь листа 0-46-XXIX ограничивается координатами 56°40° - -57°20° северной широты и 94°00-95°00 восточной долготы от Гринвича. По административному делению территория листа располагается в пределах Тасеевского, Дзержинского, Сухобузимского и Казачинсто районов Красноярского края РСФСР.

В пределы описываемой территории входят две различные по характеру географического дандшафта области. Ого-западная половина листа охватывает восточный склон Южно-Енисейского кряжа, северо--восточная его часть является частью Средне-Сибирского плосгогорья. Территория, относящаяся к Южно-Енисейскому кряжу, явдяется горнотаежным районом с низкогорным рельефом. Максимальные абсо лютные отметки высот здесь достигают 600 м. Относительные превышения составляют 180-200 м. Гидрографическая сеть описываемой территории принаддежит бассейну р.Енисея и дишь р.Мурма относится к бассейну р. Тасвевой. Наиболее крупные реки этой части района рр.Веснина, Бол.Кузеева, входят в пределы листа своими верховьями. Они являются типичными горными реками с быстрым течением и незначительной глубиной. Эта территория покрыта густой труднопрокодимой тайгой, лишь площади старых пожарищ заняты молодыми сме манными лесами. Проезжих дорог эта часть района не имеет. Путями сообщения здесь служат пешеходные и выючные тропы вдоль крупных DeK.

Северо-восточная часть листа, относящаяся к Средне-Сибирскому плоскогорью, слабо вехолиленная лесостепная местность с обширными незалесёнными пространствами. Основной водной артерией этой части территории является р.Усолка, служащая транспортным путем для молевого сплава леса. Притоки р.Усолки: Топол, Колон, Хандала, Мурма-мелкие реки с медленным течением и сильно заболоченными долинами.

Путями сообщения в этой части района служат проседочные дороги проезжие в любое время года. Районный центр — с.Тасеево связано с ближайним городом Канском профилированным поссе.

Климат района в целом резко континентальный с предолжительной суровой зимой и коротким летом. Среднегодовая температура отрицательна и колеблется в пределах –  $1.6-1.9^{\circ}$ C.

Заселенность территории листа крайне неравномерна. Все населенные пункты располагаются в северо-восточной, лесостепной части района, горнотаежная его часть совершенно необжита. Основное занятие населения — сельское козяйство. Достаточно вироким резвитием здесь пользуются также лесопромышленные предприятия.

Обнаженность территории листа для различных его участков не одинакова. Наибольшее количество обнажений наблюдается в пределах распространения архейских и кембро-протерозойских отложений. Восточная половина листа, где распространены рыхлые верхнепалеозойские и мезозойские осадки, обнажена слабо. Обнажения вдесь приурочены к бортем долин основных рек.

Млиховым опробованием охвачены все реки с их притоками в пределах распространения древних толщ. На площеди распространения рыхлых верхнепалеозойских и мезозойских отложений были отобраны искусственные шлихи из шнековых скважин по профилям. Металломет рическое опробование в процессе съемочных работ было проведено на всей территории листа.

При составлении геологической карты листа 0-46-XXIX наряду с материалами полученными в процессе съемки, были использованы ма - териалы треста "Востсибнефтегеология", а также материалы геофизических работ. В процессе полевых работ и при составлении карты дешифрировались аэрофотоснимки I:26000 масштаба, имеющиеся на территории всего листа.

Первые геологические данные, касающиеся территории листа 0-46-XXIX, содержатся в кратких путевых заметках Э.К.Гофмана и д.И.Макеровского (1843), указавших на широкое распространение угленосных отложений в долине р.Усолки.

В 1883-84 гг. в Канском районе проводил геологические исследования В.К. Элатковский, который отнес распространенные здесь угленосные отложения к юрской системе, включив сюда и отложения каменноугольного возраста.

В 1885 г. в пределах территории листа работал Л.А.Ячевский, проводивший геологические изыскания вдоль трассы Сибирской желез-

ной дороги. Составленная им стратиграфическая схема отличается вполне достаточной для того времени полнотой и имеет следующий вид (сниву):

- I. Красный песчаник, лежащий на гранитах и гнейсах.
- 2. Сильно кремнистый известняк.
- З. Синяя гипсоносная глина окрестностей ов.Улюколь.
  - 4. Пестрая глинисто-песчаниковая толща.
  - 5. Траппы.
  - 6. Орские угленосные отложения.
  - 7. Третичные угленосные отложения.

Наиболее интересным и важным является тот факт, что Л.А.Ячевский в своей схеме поместил красные песчаники, относимые в настонщее время к кембро-протерозор, в основание разреза осадочной толщи, указав на несогласное их залегание на гранитах и гнейсах. Нижнекембрийские кремнистые известняки ошибочно отнесены им к девону
по зналогии с торгашинскими известняками, считавшимися в то время
нижнедевонскими. Ошибочно и отнесение средне-верхнекембрийских
пестроцветных отложений к качинской свите девоиского возраста, каменноугольных угленосных отложений к юре, а юрских - к третичному
возрасту.

В 1930 г. геологические исследования в пределах исследуемого района развивеются наиболее широко и приобретают, с течением времени, все больший размах. В 1929-30 гг. геологическими исследованиями в Канско-Тасеевском районе занимался М.К.Коровин, возглав - дявший группу геологов бывшего Сибирского отделения Геолкома в составе А.С.Хоментовского, И.И.Аммосова, И.М.Шмидта и др. Этой группой была проведена геологическая съемка 1:1 000 000 масштаба. Наиболее полно М.К.Коровин описывает пермокарбоновые и юрские угленосные отложения в пределах выделенного им Канского угленосного бассейна. Он подробно характеризует литологию этих отложений и дает оценку промышленной их угленосности. В последующих работах М.К.Коровин описывает преимущественно юрские отложения.

В период с 1930 по 1938 гг. в пределах Канского бассейна и прилигающих к нему участков проводил геологические исследования А.С.Хоментовский. В ряде статей он обобщил имеющиеся материалы по геологии Канско-Тасеевского района и составил для этой территории геологическую карту 1:1000 000 масштаба. В кембрийских карбонатных породах А.С.Хоментовским зафиксированы битумопроявления. Анализируя геолого-структурные особенности и особенности состава по-

род, А.С. Хоментовский пришел к выводу, что среднеке мбрийские отложения благоприятны для поисков нефти и газа и что нефтепоисковые работы следует проводить в пределах выявленных им антиклинальных структур, в нижнем течении р. Усолки.

В 1981 г. в Южно-Енисейском кряже проводил исследования П.П. Скабичевский. Он примел к выводу, что Енисейский кряж представляет собой каледонскую складчатую область, обрамляющую Сибирскую платформу с запада. Южную и северную части Енисеиского кряжа в структурно-генетическом отношении он считает самостоятельными структурами.

В 1937 г. А.А. Предтеченский изучел нижнепалеозойские отложения по рр. Усолке и Тасеевой с целью поисков битумов и структур, перспективных на нефть и газ. Предложенная им схема стретиграфии имеет следующие педразделения снизу вверх:

- I. Докембрий. Кристаллические сланцы и гнейсы.
- Средний кембрий. Известняки с водорослями, песченики, мергели.
  - 3. Средний-верхний кембрий. Переходная известняково-сланцевая толща.
    - Верхний кембрий. Косослоистые песчаники и конгломераты, кирпично-красные аргиллиты и песчаники, зеленые сланцы и песчаники.
  - Кембро-силур. Красноцветные слюдистые аргиллиты и песчаники, известняки с халцедоновыми желвеками.
    - 6. Пермо-карбон. Угленосные отложения.
    - 7. Траппы.
- 8. Орские угленосные отложения.

В результате этих работ был выявлен ряд антиклинальных структур, которые А.А.Предтеченский рекомендовал для дальнейшего изучения на нефть и газ. (Предтеченский, 1938 ф).

В 1938 г. в пределах Южно-Енисейского кряжа проводил геологические исследования Ю.А.Кузнецов. В целом ряде работ он приводит детальную петрографическую характеристику выделенных им канского и енисейского метаморфических комплексов и освещает многие вопросы петрологии метаморфических и магматических образований Южно-Енисейского кряжа. Целый ряд выдвинутых Ю.А.Кузнецовым принципиальных положений по тем или иным вопросам петрологии сохранили свою актуальность и по сей день (Кузнецов, 1941,1944,1946).

В 1938-39 гг. в пределах Канско-Тасеевской депрессии начала

работу нефтеразведочная экспедиция под руководством профессора И.Н.Стрижева. В работах экспедиции принимали участие А.С.Хомен — товский, А.А.Предтеченский, Б.Г.Коновалов, П.Ф.Тесленко и др. В результате этих работ впервые выделены и изучены нижнекембрийские отложения. Заключение о перспективности этой части платформы на нефть и газ, высказанное И.Н.Стриженовым было отрицательным. Вторично нефтеноисковые работы здесь были возобновлены лишь в 50-х годах.

В период 1947-1950 гг. территория листа 0-46-XXIX была объектом поисково-резведочных работ на уголь, проводившихся под руко водством И.А. Санжара и А.И.Ивановой. Авторами дается подробная
карактеристика пермокарбоновых и врских отложений и промышленная
оценка их угленосности. По результатам работ составлена геслоги ческая карта северной части Канского буроугольного бассейна.

Наиболее интенсивное изучение описываемой территории связано с началом нефтепоисковых работ. В 1951-54 гг. в пределах Канско-Тасеевской депрессии проводились маршрутные исследования отря — дом нефтегазовой экспедиции АН СССР под руководством В.Т.Мордовского. Карбонатные нижнекембрийские отложения он считает перспективными в нефтегазоносном отношении и намечает участки для постановки нефтепоисковых работ.

В 1952 году в Тасеевском районе занимался геологической съемкой масштаба 1:200000 И.Н.Сулимов. В северной части листа 0-46--XXIX им выделены и охарактеризованы отложения протерозойского, кембрийского, нижнесилурийского, нижнедевонского, нижнепермского, юрского и четвертичного возраста.

В этом же году в Канско-Тасеевской депрессии проводили геологические работы 1:100000 масштаба отряды треста "Востсибнефтегео-логия". В этих работах принимели участие М.А.Жарков, Л.Д.Комаров, А.Д.Бритченко, И.И.Миронов, Г.С.Уваровский. М.А.Жарковым в бассейне р.Топол были изучены архейские нижнекембрийские, среднекембрийские, верхнекембрийские, силурийские, девонские, пермские и юрские образования, моноклинально падающие вглубь платформы. Выходы нижнепалеозойских пород среди более молодых носят характер эрозионных останцев. Следует отметить, что М.А.Жарковым были ошибочно отнесены к девону пестроцветные нижнемеловые осадки. Наиболее перспективным участком для проведния нефтепоисковых работ М.А.Жарков считает северо-западную часть депрессии, где имеется ряд благоприятных антиклинальных структур.

С 1951 г. в пределах Канско-Тасеевской депрессии проводит геофизические исследования трест "Востсибнефтегеофизика". В 1951 — -52 гг. на территории листа проведена гравиметрическая и магнит- ная съемка среднего масштаба. В результате было получено представление о характере гравитеционного и магнитного полей, в пределах изученной площади. Отмечен значительный гравитеционный максимум у с.Тасеево. Узколокализованными гравитационными минимумами за фиксированы Мурминская, Караульнинская и Тынысская антиклинали.

В 1953 г. была организована структурно-тектоническая партия треста "Востсибнефтегеология" под руководством М.А.Цахновского. Партией проделана большая работа по расчленению протерозоя и кембрия юго-западной части Сибирской платформы и создана новая тек - тоническая схема южной её части.

В 1954 г. территория листа 0-46-XXIX была покрыта аэромагнитной съемкой масштаба 1:500000 (И.И.Вайнман, В.И.Блюменцвайт, 1955). В 1955 г. непосредственно на площади листа под руководством В.И. Послеева проведены электроразведочные работы методами ВЭЗ и ДЭЗ с целью изучения структур рейона. В 1956 г. проведена аэромагнитная съемка масштаба 1:200000 (Шупак.1957 ф). Полученные данные проливают свет на природу фундамента в юго-западной части платформы. В результете анализа всех геологических и геофизических материалов была составлена схематическая структурная карта по кровле нижнекембрийских отложений. В конце 1955 г. у д.Мурмы была заложена опорная скважина, пройденная до глубины 2195 м и вскрывшая верхнюю часть карбонатной толщи нижнего кембрия с двумя пачками соли. Одновременно на Мурминской и Тынысской антиклиналях проведено структурно-картировочное бурение по данным которого составлены структурные карты масштаба 1:25000. (Плотников, 1958 ф). На Тынысской антиклинали в 1957 г. была заложена роторная скважина, достигающая глубины 3012 м.

В 1956 году в северной части листа провел геологическую съемку I:100000 масштаба М.А.Жарков. В результате работ им предложена следующая тектоническая схема района.

- I. Енисейский кряж.
- Предъенисейский прогиб с Унжинско-Даниловским валом, в котором выделяются Унжинское, Белийсказское и Даниловское поднятия.
- 3. Троицко-Михайловский вал с Караульнинской, Тынысской, Мурминской, Троицко-Сользаводской и Хандальской антиклиналями.
- 4. Восточная синклинальная зона, названная впоследствии Чемурайской впадиной.

В следующем 1957 году были начаты структурно-картировочные работы на караульнинской (Фукс, 1958 ф) и канарайской (Плотников, 1959) структурах. При проведении этих работ были выявлены и описаны меловые отложения. Б.А.Фукс и Л.П.Плотников совместно с М.А. Жарковым, разработали стратиграфическую схему нижнекембрийских отложений в следующем виде (снизу):

- І. Хаеринская свита
- 2. Топольская свита

терригенная толща

- З. Тасеевская свита
- 4. Улюкольская свита
- 5. Рассольнинская свита
- 6. Свита Лыроватого утёса

карбонатная толща

В 1957 г. была издана работа В.Г.Васильева, Е.Н.Каленова и др. "Геологическое строение юга Сибирской платформы и нефтеносность кембрия". Авторами приводится геотектоническая схема региона и освещаются проблемы нефтеносности кембрийских толщ юга Си — бирской платформы.

В 1957 г. в Канско-Тасевском районе работали Мурминская и Усолкинская партии Ивановской экспедиции. Первая из них производила работы по поискам гипса. Работами Усолкинской партии, воз главляемой В.А.Свидерским, в карбонатной толще нижнего кембрия на четырех учестках были выявлены пласты каменной соли, запасы которой составляют более 20 миллиардов тонн.

Мурминская гравиметрическая партия под руководством В.К.фоглера в 1957 г. установила значительный по площади и амплитуде валообразный выступ фундамента в зоне Предъенисейского прогибе по
оси Сивохино-Струково-Верхний Колон. К северо-западу этот выступ
переходит в Лукашинский предгорный прогиб с очень крутым западным
крылом.

М.А.Жарков в сводной работе подвел итог всем предыдущим исследованиям на юго-запеде Сибирской платформы (Жарков, 1958 ф). Он подтвердил целесообразность поисков нефти и газа на этой территории.

В 1958 г. на территории листа проведены тематические исследования по изучению стратиграфии и литологии кембрийских и юрских отложений (Тазихин, 1958 ф).

В 1957-1959 гг. к северу от описываемой территории, на площади листа 0-46-XXII, производилась Государственная геологическая съемка А.В.Благодатским и Р.Т. Уссаром. Авторами получено много данных, по новому осветивших вопросы стратиграфии кембрийских отножений.

В 1960 г. Тасеевская геологическая партия, возглавляемая А.В. Благодатским, произвела геологическую съемку южной половины листа 0-46-XXIX. Материалы, полученные при проведении этих работ, явились основой для составления этой части Государственной геологической карты листа.

В 1961 г. описываемая площадь была охвачена аэромагнитной съем-кой масштаба 1:50000 (Н.Н.Дашкевич, Г.С.Стародубов). В результате работ получено много новых данных, позвеляющих с значительно большей детальностью производить картирование в пределах распространения архейских метаморфических и интрузивных образований Южно-книсейского кряжа.

### СТРАТИГРАФИЯ

В пределах территории листа 0-46-XXIX распространены отложения архейского, протерозойского, кембрийского, верхнепалеозойского, мезовойского и кайнозойского возрастов.

### APXENCKAЯ ГРУППА

Архейские отложения, объединяемые в канскую серию, представлены глубоко метаморфизованными породами амфиболитовой и гранулитовой фаций: пироксеновыми, биотитовыми, гранатовыми и кордиери товыми гнейсами, анатектитами и чарнокитами.

По минеральному составу и структурным особенностям комплекс перечисленных выше пород аналогичен гнейсовым толщам архея, рас - пространенным в пределах Балтийского, Анабарского и Алданского щитов. Породы канской серии претерпели региональный метаморфизм. В последующем, продукты его подверглись наложенному воздействию неоднократно проявившегося инъекционного метаморфизма и динамомета-морфизма.

В связи с чрезвычайно глубоким метаморфизмом архейских пород, стратиграфическое расчленение их вызывает большие трудности. Выделение отдельных стратиграфических единиц и установление границ между ними производится в известной мере условно. В породах канской серии нами выделяются не свиты, а толщи, соответственно сни ву: кузеевская, атамановская, калантатская.

### Канская серия

К у з е е в с к а я т о л щ а (А №). Отложения кузеевской толщи развиты к западу от р.Б.Веснина. В составе её участвуют наи-более глубоко метаморфизованные отложения, представленные гранат-

-полевошпатовыми породами, гренатовыми и пироксен-гранатовыми гнейсами, биотит-гранатовыми гнейсами и гранулитами. Широким распространением здесь пользуются также различного рода анатектиты. По данным картирования намечается двучленное строение кузеевской толщи. В нижней части толщи преобладают пироксеновые гнейсы: гранатовые гнейсы и гранат-полевошпатовые породы приурочены к верхам толщи.

Пироксеновые гнейсы, слагающие низы разреза толщи, представ - ляют собой темно-сарые грубополосчатые массивные среднекристаллические породы, структура которых по своим особенностям занимает промежуточное положение между гранобластовой и гипидиоморфнозернистой. В составе пород принимают участие: эндезин (до 70%), гиперстен (5-10%), биотит (2-3%), кварц (7-100%), калинатровый полевой шпат (5%). Акцессорные минералы представлены рудным зпатитом и цирконом.

Изометричные и удлиненно-призматические зерна плагиоклаза содержат многочисленные антипертитовые выделения калинатрового по левого шпата, расположенные по спайности и имеющие одинаковую оптическую ориентировку. Гиперстен зачастую плеохроичен, иногда почти нацело замещен агрегатом хлорита и бледно-зеленой роговой обманки. Биотит встречается то в виде удлиненных листочков, вклю ченных в зерна гиперстена и плагиоклаза, то в виде скоплений чешуек неправильной формы. Ксеноморфные зерна кварца сильно трещиноваты, с мозаичным погасанием.

Гранат-полевошпатовые породы имеют гранобластовую и порфиробластовую структуру. Основная масса таких пород сложена кварцем
и калиевым полевым шпатом. Присутствующий в породах гранат аль —
мандинового ряда образует то отдельные, довольно хорошо огранен—
ные кристаллы, рассеянные в основной массе породы, то полосы в
0.3-0.6 см, чередующиеся с полосами кварц-полевошпатового агрегата. Иногда в основной массе пород присутствует графит, представленный мелкими чешуйками и их скоплениями.

Гранатовые гнейсы включают достаточно широкую группу пород с различными структурными и текстурными особенностями. Наиболее жарактерная минеральная ассоциация этих пород включает в себя кварц, плагиоклаз, гранат, биотит. Макроскопически это мелко- и средне-кристаллические яснополосчатые породы розовато-серого цвета. При микроскопическом изучении породы обнаруживают гранобластовую, и иногда порфиробластовую структуры.

Плагиоклаз (андезин) представлен мелкими изометричными полисинтетически сдвойниковенными зернами, часто содержащими включения кварца. Кварц присутствует в виде непревильных зерен с ясным облачным погасанием. Мелкочешуйчатый агрегат биотита резвивается вокруг плагиоклазовых зерен, а также замещает гранат, развиваясь в последнем по трещинам и краям кристаллов. Изометричные кристаллы граната образуют в основной массе породы то скопления в виде субпараллельно ориентированных полос, то отдельные крупные изометричные зерна.

Гранулиты распространены как в нижней, так и в верхней частях разреза кузеевской серии, преобладая, однако, в верхах резреза. Это массивные желтовато-серые и розоватые породы, как правило, неравномернозернистые. Структура гранулитов гранобластовая, участ - ками пойкилитовая. В основной массе пород, сложенной плагиоклазом (30-35%), кварцем (15-20%) и калиевым полевым шпатом (10-15%), присутствуют отдельные крупные зерна и сростки зерен граната и реже гиперстена. Очень часто гранат и гиперстен замещаются биотитом.

Кроме описанных выше пород в составе кузеевской толщи распространены образования палингенного происхождения, представленные внатектитами и чарнокитами. Генетически эти породы связаны с вмещающими их гнейсами и образуют отдельные линзы и гнезда довольно сложной формы. Чарнокиты, как правило, тесно ассоциируют с пироксеновыми гнейсами. Наиболее типичные разновидности чарнокитов темносерые породы, содержащие иногда субпараллельно ориентированные линзочки и "слои", обогащенные биотитом. Они имеют гранобластовую структуру и состоят из изометричных зерен олигоклаза (40-60%),отдельных неправильной формы зерен кал инатрового полевого шлата, кварца и крупных изометричных зерен граната с развивающимся по нему бурым биотитом. Гиперстен представлен отдельными изометричными, реже удлиненными, зернами. Содержание гиперстена в породах колеблется от 1-3 до 6-8%.

Породы типа анатектитов образуют как отдельные линаы, жилы и гнезда размерами от 0,5-I м до 80-I00 м, так и измеряемые долями сантиметров послойные внедрения во вмещающих породах.

Анатектиты сложены розовато-серым крупнокристаллическим агрегатом, состоящим из зерен плагиоклаза, калинатрового полевого шпата и кварца. В большинстве разновидностей таких пород присутствует гранат, образующий скопления изометричных кристаллов. Кроме пород гранитного состава, среди пироксеновых гнейсов встречаются линзы и гнезда, сложенные грубокристаллическим агрегатом кристаллов голубовато-серого лабрадора и кристаллов гиперстена.

В связи с чрезвычайно глубоким метаморфизмом отложений кузеевской серии, вопрос о первичном составе слагающих её пород яв ляется очень сложным. Судя по валовому химическому составу и в
ряде случаев по структурно-текстурным особенностям, можно пола гать, что первичные породы были представлены толщей терригенных
осадков типа песчаников и гравелитов, переслаивающихся с эффузивеми основного состава. Первые из них послужили исходным материалом для гранат-полевошпатовых пород, за счет вторых возникли преимущественно пироксеновые гнейсы.

Общая мощность кузеевской толщи не менее 3 тыс.м.

А тамановской толщи образуют узкую полосу субмеридионального простирания, протягивающуюся через всю территорию листа.

В северной части листа породы атамановской толщи постепенно к западу сменяются породами кузеевской толщи, а с восточка ограничиваются прорывающими их гранитами таракского комплекса. В южной части листа породы атамановской толщи с северной и западной стороны ограничены тектоническими нарушениями.

В составе толщи принимают участие породы, карактеризующиеся высоким содержанием глинозема, представленые кордиеритовыми, кордиерит-силлиманитовыми, гранат-кордиеритовыми, иногда дистенсодержащими гнейсами. Все перечисленные выше разновидности пород связаны между собой постепенными переходами. Они имеют гнейсовую текстуру, гранобластовую, лепидогранобластовую, реже диабластовую структуры и состоят из плагиоклаза, кордиерита, силлиманита, кварца, калиевого полевого шпата, пироксена и граната.

Плагиоклаз содержится в описываемых породах в количестве 6-IO% и представлен таблитчатыми и изометричными зернами. Калинатровый полевой шпат присутствует в породах в виде изометричных и
неправильных зерен с криптопертитовыми вростками. В отдельных разновидностях пород калинатровый полевой шпат наряду с кварцем обравует дендритовидные прорастания основной массы, обуславливающие
диабластовую структуру пород.

Содержание кордиерита в породах колеблется от 5 до 20%. Он образует либо отдельные изометричные зерна, часто содержащие включе-

ния листочков красно-бурого биотита и иголочек силлиманита, либо неправильные зерна, выполняющие промежутки между зернами граната и пироксена. В отдельных зернах минералов наблюдаются четкие гребенчатые и секториальные двойники.

Силлиманит представлен скоплениями удлиненных зерен, а также мелких игловидных кристаллов, прорастающих зерна других минералов. Кварц образует неправильные зерна и реже дендритовидные вростки.

Гиперстен в отдельных разновидностях пород отсутствует, в других содержится в значительных количествах (3-10%), образуя пря-моугольные и неправильные зерна с четко выраженной спайностью и ясным плеохроизмом.

Гранат представлен округлыми и неправильными кристаллами розоватого цвета. Шпинель присутствует в большинстве разновидностей
описываемых пород в виде зерен неправильной формы, часто в эссоциации с рудным минералом. Биотит развивается по гранату и другим
первичным минералам и представлен скоплениями чещуек с пле окроизмом в красно-бурых тонах. В некоторых разновидностях описываемых
пород присутствуют дистен и корунд, первый — в виде отдельных
крупных удлиненных зерен; второй — в виде зерен неправильной формы.

Несколько реже, чем описанные выше породы, а атамановской толще встречаются биотитовые и гранатовые гнейсы, образующие отдельные линзы и слои мощностью от 50-60 м до 400-500 м.

Присутствие в породах толщи минералов с высоким содержанием глинозема, свидетельствует о том, что в составе исходного материала широким распространением пользовались глинистые осадки.

Общая мощность атамановской толщи в разрезе по р.Кан состав-

Атамановская и калантатская толщи объединенные (Aathl). Этот комплекс пород респространен в южной части листа к востоку от р.Б. Веснина, образуя полосу северо-западного простирания, ограниченную с юго-запада разломом, а с северо-востока гнейсогранитами таракского комплекса.

Особенности строения внутренней структуры описываемого комп - лекса пород, в связи со сложностью строения, нам не ясны. Поэтому стратиграфическую последовательность в чередовании отдельных разновидностей можно наметить лишь в самых общих чертах. В составе комплекса участвуют кордиеритовые, гранат-кордиеритовые, кордиерит-силлиманитовые гнейсы, пользующиеся широким распространением в составе атамановской телщи. В то же время не менее широким рас-

пространением здесь пользуются кварцитовидные гнейсы и биотитовые гнейсы, характерные для калантатской толщи.

Кордиеритсодержащие гнейсы по минеральному составу и структурно-текстурным особенностям совершенно идентичны гнейсам, описанным ранее в составе атамановской толщи.

Кварцитовидные, биотитовые и биотит-гранатовые гнейсы образуот отдельные прослои мощностью от 2-5 до 10-100 м. Кварцитовидные гнейсы представляют собой серые и зеленовато-серые породы, имеющие гранобластовую структуру и состоящие из кварца (40-60%), плагиоклаза (10-15%), калинатрового полевого шпата, в большинстве случаев вторичного, и мелких субпараллельно ориентированных чешуек биотита. В некоторых случаях в породах этого типа наблюдаются участки со структурой, напоминающей структуру обломочных пород.

Биотитовые и биотит-гранатовые гнейсы - породы серого цвета с ясно выраженной полосчатой текстурой за счет чередования полос, обогащенных биотитом, с полосами, сложенными кварц-полевошпатовым агрегатом.

Структура описываемых пород лепидогранобластовая, участками порфиробластовая. В составе их участвуют плагиоклаз, калинатровый полевой шпат, кварц, биотит, гранат. В качестве акцессорных минералов присутствуют рудный, апатит, циркон.

Плагиоклав, присутствующий в породах в количестве 15-25%, представлен изометричными полисинтетически сдвойникованными зернами. Калинатровый полевой шпат содержится в количествах, как правило, меньших по отношению к плагиоклазу, образуя неправильные зерна и антипертитовые вростки. Количество кварца в отдельных резновидностях пород колеблется от 15 до 40%. Он представлен как крупными изометричными зернами, так и скоплениями неправильных зерен. Красно-бурые листочки биотита образуют скопления, имеющие форму субпараллельно ориентированных линзочек и прерывистых полос.

Гранат присутствует в большинстве разновидностей описываемых пород в количестве 10-15%, образуя, большей частью, крупные изо-метричные зерна с пойкилитовыми включениями кварца и плагиоклаза. Рудный минерал, циркон и эпатит представлены единичными зернами.

Общая мощность описанной толщи пород не менее 1000 (?) м.

Возраст пород кувеевской, атамановской и калантатской толщ принимается как архейский, поскольку определение абсолютного возраста таракских гнейсогранитов, прорывающих эти толщи, дает цифру 1900 млн. лет.

## протерозойская группа

В е с н и н с к а я т о л щ а (Р е vs). К этой толще отнесен комплекс метаморфических пород, распространенных в северо-западной
части листа О-46-XXIX, в бассейне р.Шилки. Взаимоотношения описываемых пород с нижележащими толщами в пределах территории листа
не устанавливаются, так как этот комплекс пород отделен от нижележащих толщ серией тектонических нарушений, сопровождаемых зонами милонитов. Наиболее распространенными породами в составе толщи являются инъекционные биотитовые и амфиболовые гнейсы.

Инъекционные биотитовые гнейсы — породы серого и розовато-серого цвета, обычно с четкой гнейсовой текстурой, обусловленной
чередованием полос субстрата и полос инъецирующего гранитного материала. При микроскопическом изучении в гнейсах устанавливается
гранобластовая и лепидогранобластовая структуры. Состоят они из
агрегата зерен плагиоклаза (30%), чещуек зеленовато-бурого биотита (25-30%) и реже отдельных листочков мусковита. Из акцессорных
минералов наблюдаются апатит, сфен, циркон.

Амфиболовые разности гнейсов имеют аналогичные с биотитовыми структурно-текстурные признаки и отличаются от них лишь присутствием удлиненных кристаллов роговой обманки.

Общая мощность толщи определяется нами ориентировочно более 2000 м.

Севернее, на территории листа О-46-XXII, описанные выше отложения отнесены А.В.Благодетским к удерейской свите. Отнесение этих отложений к удерейской свите основывалось, главным образом, на том факте, что в пределах листа О-46-XXII они перекрываются кварцитами, аналогичными кварцитам погорюмской свиты, которая в заангарской чести Енисейского кряжа залегает на удерейской свите. Однако, как установлено впоследствии, эти кварциты являются более древними (кординская свита) и залегают ниже отложений удерейской свиты.

В пользу более древнего возреста описанных отложений свиде - тельствует и то обстоятельство, что степень метаморфизма пород удерейской свиты, в ее стратотипическом разрезе значительно ниже степени метаморфизма пород описанной выше толщи.

## ВЕРХНЕПРОТЕРОЗОЙСКАЯ ПОДГРУППА - КЕМБРИЙСКАЯ СИСТЕМА

Нерасчлененные отложения верхнего протерозоя — нижнего кембрия распространены в бассейнах рр.Топол, Канарай, Хандала, Мурма. Они представлены терригенными отложениями тасеевской серии, которая расчленяется на три свиты (снизу): алешинскую, чистяковскую, мощаковскую.

### Тасеевская серия

Алешинской свиты в одних случаях трансграссивно залегают на гнейсогранитах теракской интрузии, в других имеют с гнейсогранитами тектонические контакты. Свита сложена песчаниками, алевролитами, гравелитами, конгломератами.

В основании разреза свиты залегает пачка белых, розовато-серых и зеленовато-серых кварцитовидных песчаников с прослоями гравелитов и конгломератов. Песчаники состоят из слабо окатанных зерен кварца, незначительного количества зерен калинатрового поле вого шпата и серицитизированного плагиоклаза. Цемент песчаников
кварцевый, регенерационного типа.

Наиболее полный разраз свиты в пределах нашего района наблю - деется по р.Межтопольчик.

По преобладанию тех или иных разновидностей пород в состеве свиты выделяются следующие пачки (снизу):

Общая мощность алешинской свиты в разрезе по р.Ологаш 1400 - -1500 м.

Ч и с т я к о в с к а я с в и т а (Pt<sub>2</sub>-Cm<sub>1</sub>c<sup>3</sup>). Чистяковская свита согласно залегают на элешинской. Граница между ними проводится условно, по появлению в разрезе зеленовато-серых песчани - ков и сланцеватых алевролитов. В пределах территории листа 0-46-XXIX отложения чистяковской свиты пользуются незначительным распространением в юго-восточной части листа, где с нижележащей алешинской свитой эти отложения имеют тектонический контакт. Наибо - лее полный разрез свиты наблюдается южнее территории листа, в бассейнах рр.Курыш и Олагаш.

В основании разреза чистяковской свиты залегают тонкослоис — тые вишнево-бурые алевролиты, чередующиеся с зеленовато-серыми и желтоватыми тонкозернистыми песчаниками и зеленовато-серыми алевролитами. На описанной выше пачке залегают желтовато-зеленые слюдистые песчаники с редкими прослоями вишнево-бурых алевролитов.

имеющие мощность 300-350 м и сменяющиеся, в свою очередь, пачкой, состоящей из переслаивающихся коричневато-зеленых слюдистых песчаников и элевролитов, мощностью 150-200 м.

Верхняя часть разреза свиты сложена зеленовато-желтыми и желтыми слюдистыми песчаниками, с прослоями вишнево-бурых и зеленых алевролитов.

Общая мощность чистяковской свиты 1000-1200 м.

М о ш а к о в с к а я с в и т а(Рt<sub>3</sub>-Сm<sub>4</sub>m<sub>3</sub>). Отложения мощаковской свиты распространены в юго-восточной части ракона, образуя полосу северо-западного простирания, пересекающую верхние течения рр. Межтопольчик, Топол. Малиновый лог.

Момаковская свита согласно залегают на чистяковской и характеризуются довольно монотонным литологическим составом. Нижняя
часть свиты сложена среднезернистыми красно-бурыми и характерными фиолетовыми песчаниками с прослоями алевролитов. Эта песчаноелевролитовая пачка сменяется крупнозернистыми песчаниками кирпично-красного и сиреневого цвета, преимущественно кварцевого состава. В верхней части разреза свиты повсеместно отмечается и довольно хорошо прослеживается по простиранию горизонт конгломератов буровато-красного цвета, состоящих из гальки кварца, сцементированной песчаным материалом. Конгломераты сменяются сероватосбурыми кварцевыми песчаниками.

Общая мощность мошаковской свиты в разрезе по р.Ологаш сос - тавляет 1800-2100 м.

В заключение следует отметить, что по мнению А.В. Благодат - ского вся описанная выше толща пород, распространенная в юго-восточной части листа 0-46-XXIX, должна быть отнесена к алешинской свите.

Возраст пород тасеевской серии определяется на основании следующих данных: абсолютный возраст пород чивидинской свиты, рас —
пространенной на севере Енисейского кряжа, дает цифру 745 млн.лет
(Г.А.Казаков, определение по глаукониту). Эта цифра по современной геохронологической шкале соответствует верхам протеровоя.
Учитывая то обстоятельство, что породы чивидинской свиты сопос —
тавляются с нижней частью разреза тасеевской серии, а вышележа —
щие отложения значительной мощности в возрастном отношении не охарактеризованы, возраст тасеевской серии в целом определяется как
верхнепротерозойский—нижнекеморийский.

## ПАЛЕОЗОЙСКАЯ ГРУППА КЕМБРИЙСКАЯ СИСТЕМА Нижний отдел

Островной свите, залегают в основании мощной толщи карбонатных осадков нижнего кембрия. В вопросе о характере взаимоотношения карбонатных отложений нижнего кембрия с нижележащими терригенными осадками единой точки зрения нет. Одни исследователи (М.А.Семихатов, А.В.Благодатский) считают, что отложения островной свиты залегают на породах тасеевской серии согласно. Автор настоящей записки разделяет точку зрения А.А.Предтеченского считающего, что контакт между вышеупомянутыми толщами является трансгрессивным.

Отложения островной свиты распространены в юго-восточной части листа О-46-XXIX, образуя узкую полосу северо-западного простирания, протягивающуюся от верховьев рч. Ильинка до руч. Малиновый лог.

Нижняя часть свиты сложена конгломератами, наиболее полный разрез которых наблюдается на г.Камешек. Конгломераты содержат линзы красно- и серовато-бурых песчаников и состоят из хорошо окатанной гальки диаметром до 20 см светлых и лиловых кварцитовидных песчаников и кварца. Значительно реже встречается галька розоватых мусковитовых гнейсо-гранитов. Мощность конгломератовой пачки не превышает 10 м.

Вверх по разрезу конгломераты сменяются кресноватыми, розоватыми и очень характерными белыми кверцевыми песчаниками с карбонатным цементом. В самой верхней части разреза свиты в песчани ках содержатся незначительные по мощности пласты коричневатых доломитизировенных известняков.

Общая мощность островной свиты составляет 250-300 м.

Климинской свиты в пределах территории листа 0-46-XXIX протягиваются узкой полосой северо-западного направления от озера Улюколь к рр. Таш-лыковой и Средний Топол. Севернее они перекрываются мезозойско --кайнозойскими осадками.

Климинская свита согласно залегает на отложениях островной и согласно перекрывается свитой Дыроветого утёса.

В составе свиты преобладают карбонатные осадки, представленные известняками и доломитами, содержащими в верхней части разреза прослои песчаников и алевролитов. Иногда встречаются так же гипс и ангидрит в виде линз и гнезд. В центральной части района мощность свиты увеличивается. В составе её появляются пласты каменной соли, составляющие до 60% от общей мощности толши.

Наиболее полный разрез свиты вскрыт опорной скважиной в районе Тыныс, где наблюдается следующая последовательность в чередовании пород (снизу):

- 2. Алевролиты красновато-коричневые, реже зеленовато-серые, чередующиеся с пластами каменной соли, бурых и серых мелкозернистых слюдистых песчаников и реже черных доломитов . . . . I20 м
- 4. Соль каменная беловато-серого и грязнооранжевого цвета, чередующаяся с коричнево-красными и зеленовато-серыми слюдистыми аргиллитами, песчаниками и ангидритом • • • 100 м
- 5. Переслаивание красно-коричневых и зеленовато-серых алевролитов, каменной соли, доломитов и песчаников • • • • • 200 м
- 7. Красно-бурые тонкослоистые алевролиты с прослоями зеленовато-серых аргиллитов, ангидрита и каменной соли . . . . 130 м
- 9. Доломит темно-серый с прослоями зеленовато-серых и краснобурых песчаников и алевролитов и пластами каменной соли. 120 м

- 12. Каменная соль оранжевого и грязно-белого цвета с прослоями красно-коричневых и зеленоватых алевролитов • • • • • 230 м
- 13. Темно-серые и серые глинистые доломиты с прослоями зеленовето-серых и бурых аргиллитов и пластами каменной соли • 80 м

Тынысская опорная скважина, пробуренная до глубины 3012 м из пределов климинской свиты не вышла.

Возраст описанных отложений климинской свиты устанавливается

на основании следующих данных:

- І. Известные из нижней пачки свиты трилобиты, по заключению А.Н.Репиной, близки к трилобитам из западных разрезов синского горизонта, описанных Н.А.Суворовой.
- 2. В верхней половине разреза климинской свиты, близ озера Улюколь Л.П.Ляшенко были найдены остатки Bulaiaspis vologdini Lerm. В аналогичных же отложениях А.В.Благодатским найдены трилобиты на р.Тасевой, среди которых, по определению Г.Г.Ильиных, присутствуют: Bulaiaspis vologdini Lerm., В. primus Rep., В. sp. nov. Эти формы трилобитов являются руководящими для толбоченского горизонта нижнего кембрия.

Общая мощность климинской свиты в центральной части листа по данным буровых работ превышает 2500 м.

Свита Дыроватого утёса (Стом образоватого утёса (Стом образоватого утёса распространена в юго-восточной части территории листа О-46-XXIX, где она образует узкую полосу северо-западного простирания непосредственно к северо-востоку от области распространения пород климинской свиты. Она согласно с постепенным переходом залегает на климинской свите.

По особенностям литологического состава свиты на территории листа устанавливается два типа разрезов. Первый тип развит в районе озера Улюколь. Здесь по р.Средний Топол на доломитах климинской свиты залегеют:

- 2. Доломитизированные песчанистые известняки и доломиты светпо-серые, с прослоями песчаников . . . . . . . . . . . . . 80 м

Второй тип разреза характерен для центральной части района. Свита здесь имеет значительно большую мощность и содержит в своем составе пласты гипсов, ангидритов и каменной соли.

По данным Л.П.Плотникова Тасеевской опорной скважиной вскры-вается следующий разрез свиты (снизу):

- Темно-серые и серые доломиты с пластами каменной соли 93м
- 2. Переслаивание доломитов, алевролитов и пластов каменной соли. Отмечаются прослои песченистых мергелей и ангидрита 185 м

Из керна колонковых скважин, пробуренных у с.Тынысс, Л.П.Плотниковым были сделаны сборы трилобитов. По определению В.С.Галимовой здесь присутствуют следующие формы: Jakutus fixovi sp.nov. Calimova, Bergeroniaspis cf. aievergens Lerm., Bergeroniaspis kutorginorum Lerm., Bergeroniaspis karasevi sp.nov. Galimova. Перечисленный выше комплекс фауны характерен для олекминского горизонта нижнекембрийских отложений Сибирской платформы.

В тасеевской опорной скважине в доломитах свиты Дыроватого утёса Б.А.Фуксом были найдены Tungusella sp. и Bulaiaspis limbata Rep. (определения Л.Н.Репиной и В.С.Галимовой), также жарактерные для олекминского горизонта. Верхнюю часть разреза свиты, по представлениям М.С.Семихатова, следует относить к кетеменскому горизонту нижнего кембрия.

## Средний-верхний отделы

Эвенкийс-кой свиты распространены в юго-восточной и центральной частях территории листа. В юго-восточной части листа они образуют узкую по-лосу северо-западного простирания к юго-западу от озера Улюколь. Они же слагают общирное пространство к северу и северо-востоку от озера Улюколь до д.Шеломки. В центральной части района породы эвенкийской свиты выходят на поверхность в виде отдельных пятен среди юрских отложений.

Свита согласно залегает на карбонатных соленосных толщах нижнего кембрия. Хороших естественных разрезов эвенкийской свиты на территории листа нет. Приведенный ниже разрез описывается по данным буровым работ, проведенных трестом "Востсибнефтегеология" у дд.Михайловка, Канарай, Тыныс.

В основании разреза свиты залегают конгломераты буровато-коричневого цвета, состоящие из гальки кварцитов и кварца диаметром до 5 см. Мощность конгломератов на отдельных участках колеблется от 8 ло 2 м.

Выше наблюдается следующая последовательность в чередовании пород:

- Песчаники темно-коричнового цвета, мелко- и среднезернистые с прослоями алевролитов зеленовато-серого цвета. . . 27.1 м

- 7. Коричневатый известковый алевролит с трещинами, выполнен-

Верхняя часть разреза свиты вскрывается скважинами у д.Михай-

Здесь на известковистых алевролитах залегают снизу:

- - 4. Песчаник серый кварцевый . . . . . . . . . . . . . . . . . 2 м

 Выше по разрезу наблюдается ритмичное чередование песчаников с голубовато-зелеными и красными алевролитами.

Средняя мощность эвенкийской свиты, по данным бурения, составляет 1000-1200 м. Возраст свиты определяется как Ст<sub>2-3</sub> на том основании, что она согласно залегает на палеонтологически охарактеризованных отложениях нижнего кембрия, в то же время в северной части Енисейского кряжа в отложениях этой свиты обнаружена фауна трилобитов верхнего кембрия.

### Верхний отдел

Илгинской свить, датировались как ордовик. Породы илгинской свить распространены восточнее д.Макарово, протягиваясь полосой юго-восточного направления. Наиболее полный разрез свиты вскрывается буровыми скважинами у д.Кондратьево, л.П.Плотников по литологическому составу разделяет толщу пород относимую нами к илгинской свите на три горизонта (сниву):

- І. Нижний песчаниковый горизонт
- 2. Горизонт конгломератов
- 3. Верхний песчаниковый горизонт

Нижний песчаниковый горизонт сложен серо-зелеными песчаниками, содержащими прослои конгломератов. Породы этого горизонта связаны с нижележащими отложениями эвенкийской свиты постепенными переходами. Поэтому нижняя граница свиты проводится условно по нижнему прослою конгломератов.

Наиболее полный разрез нижнего горизонта наблюдается по керну скважин у д.Кондратьево. Здесь наблюдаются (сверху):

- I. Песчаники зеленовато-серые разнозернистые с редкими прослоями зеленого аргиллита..... 45 м
- 3. Песчаники серые и розовато-серые мелкозернистые с прослоями алевролитов и аргиллитов красно-бурого и зеленого цвета 60 м
- - 5. Красно-бурые песчаники с прослоями алевролита. . . 22 м
- 7. Песчаники коричневые и буровато-красные . . . . . 48 м Горизонт конгломератов имеет выходы на поверхность западнее д.Кондратьево и прослеживается к югу до пос.Дачный.

По данным бурения у д.Кондратьево он имеет следующий разрез (сверху):

| <ol> <li>Конгломераты, состоящие из валунов и гальки кварца, ква</li> </ol> | p-  |
|---|-----|
| цита и окремненного песчаника. Цемент конгломератов песчанисты              | й,  |
| базального типа   | M   |
| 2. Песчаник светло-серый кварц-полевошпатовый                               | M   |
| 3. Конгломерат валунно-гелечный, состоящий из валунов и га                  | лен |
|   | M   |
|   | M   |
| 5. Конгломерат, состоящий из валунов и гальки кварцитов, кв                 | ap- |
|   | M   |
| 6. Песчаник светло-серый грубозернистый кварц-полевошпа-                    |     |
| товый   | M   |
| 7. Конгломерат валунно-галечниковый   | М   |
| 8. Песчаник зеленовато-серый  | M   |
| 9. Конгломерат валунно-галечниковый 41                                      | M   |
| 10. Песчаник веленовато-серый кварц-полевошпатовый 9                        | M   |
| II. Конгломерат, состоящий из валунов и гальки кварца, халц                 | e-  |
| дона и изверженных пород, сцементированной песчаным материа-                |     |
| V: 1.0. 55  | M   |
| 12. Песчаник серый и красновато-серый мелко и среднезер-                    |     |
|   | M   |
| 13. Конгломерат, состоящий из валунов и гальки кварцита и г                 | pa- |
|   | M   |
| Верхний горизонт песчаников, по описанию М.А.Жаркова, имее                  | T   |
| следующий разраз (сверху):  |     |
| I. Песчаник светло-серый кварцевый, слюдистый с обломками                   |     |
| леного аргиллита  |     |
| 2. Песчаник серовато-белый кварцевый разновернистый 8                       |     |
| З. Песчаник зеленовато-серый грубозернистый, косослоистый,                  |     |
| валунами и галькой кварца и кварцитов                                       |     |
| Максимальная мощность отложений илгинской свиты, по данным                  |     |
| бурения, у д.Кондратьево составляет 562,0 м.                                |     |
| Возраст свиты определяется как верхнекембрийский на основа                  |     |
| следующих данных: отложения этой свиты, с одной стороны связани             |     |
| с нижележащей эвенкийской свитой постепенными переходами, с дру             |     |
| гой - к востоку от территории листа перекрываются фаунистически             | a.  |
| ожарактеризованными отложениями нивов нижнего ордовика.                     |     |
|   |     |

# ДЕВОНСКАЯ СИСТЕМА, ВЕРХНИЙ ОТДЕЛ — КАМЕННОУГОЛЬНАЯ СИСТЕМА. НИЖНИЙ ОТДЕЛ

Чаргинская свита неразчленення пользуются на территории описываемого района незначительным распространением и встречаются пишь в пределах Караульнинской антиклинальной структуры и в среднем течении р.Мурмы.

В пределах Караульнинской антиклинальной структуры у с.Суховона левом берегу р.Хандала наблюдается следующий разрез (снизу):

- I. Известняки голубовато-белые, псевдобрекчиевидные, с жалцедоном и включениями обломков зеленоватых и красноватых аргил-
- 2. Алевролиты голубовато-зеленые, пятнами красноватые, с линзами желтого кварцевого песка . . . . . . . . . . . . . 5-6 к

Отложения чаргинской свиты в среднем течении р.Мурмы представлены светлыми известняками с халцедоном, залегающими на гранитах. На отдельных участках района отложения чаргинской свиты вскрыты скважинами, пробуренными трестом "Востсибнефтегеология".

Общая мощность отложений свиты не превышает 60-70 м.

## КАМЕННОУГОЛЬНАЯ СИСТЕМА Нижний отдел

Тушамская свита(C<sub>1</sub> & 3). Породы тушамской свиты с резким угловым и азимутальным несогласием зелегают на более древних образованиях.

Севернее территории листа О—46-ХХІХ отложения этой свиты представлены халцадоновыми брекчиями, конгломератами и песчаниками, имеющими значительную мощность и прослеживающимися на больших площадях. В пределах территории листа отложения этой свиты непрерывного площадного распространения не имеют. Породы её окаймляют выступы, сложенные кембро-протерозойскими и кембрийскими отложениями. Состав отложений, слагающих свиту, однообразен. Наиболее полные разрезы её наблюдаются в бассейне р.Хандала и северо-западнее л.Вершино-Яковлево.

К северо-западу от д.Вершино-Яковлево отложения тушамской свиты залегают на породах тасеевской серии. Они представлены халце-

ж/ Свита по данным последних лет полностью относится к каменноугольной системе.

дон-каолиновой брекчией, пористой, сильно обохренной, содержащей иногда хорошо окатанную гальку подстилающих пород. Мощность отложений составляет 15-20 м.

У с.Сухово на левом берегу р.Хандала сильно обохренные халцедон-кволиновые брекчированные породы содержат линзы и прослои желтых разнозернистых песчаников с редкой галькой кварца.

Мощность отложений тушамской свиты не превышает 40 м.

Особенности состава и характер отложений тушамской свиты свидетельствуют о том, что эти отложения являются продуктами коры выветривания. Палеонтологических остатков эти породы не содержат. Возраст тушамской свиты определяется как нижний карбон на том основании, что породы её согласно перекрываются угленосными отложениями, содержащими флору и спорово-пыльцевые спектры среднего и верхнего карбона.

## КАМЕННОУГОЛЬНАЯ СИСТЕМА, СРЕДНИЙ ОТДЕЛ — ПЕРМСКАЯ СИСТЕМА, НИЖНИЙ ОТДЕЛ

Листвяжнинская и клинтайгинская свиты объединенны  $e(c_2-p_1 l_s+kl)$ . Пермокарбоновые отложения пользуются на территории листа достаточно широким распространением в бассейнах рр. Усолка и Мурма.

Наиболее полный разрез их встречается по р. Усолке у с. Тасеево и на правом борту долины р. Мурма, выше д.Ялай.

У с.Тасевво отложения пермокарбона представлены серыми ожелезненными среднезернистыми песчаниками с линзами плотных крупнозернистых слюдистых песчаников, содержащих ожелезненные стволы деревьев. Более высокие горизонты резреза пермокарбона вскрываются ниже по рр.Усолке и Глинной. Эта часть разреза представлена тонко зернистыми пепельно-серыми рыхлыми глинистыми песчаниками, переслеивающимися с серыми элевролитами, голубовато-серыми и темносе рыми углистыми аргиллитами, а так же линзами и плестами углей незначительной мощности.

К верхней части разреза пермокарбоновой толщи приурочены пласты горельников. Общая мощность отложений листвяжнинской и клинтайгинской свит составляет 200 м.

Возраст этих отложений определяется на основании следующих данных:

І. Из светло-серых песчаников, переслаивающихся с аргиллитами,

у с.Унжа А.В.Аксариным была собрана фиора. Здесь определены сле — дующие формы; Noeggerathiopsis degualus, Phyllotheca deliquescens Neurogangomopteris cardiopteroides, Abialla tomiensis, карактерные для каменесутольных отложений.

2. У с.Глинная из пачки песчаников и углистых алевролитов И.Н.Сулимовым и Г.П.Сингаевским были отобраны пробы на споровопыльцевой анализ, в результате которого получен следующий спорово-пыльцевой спектр: Calamites, Bennettitales; Zonotriletes psilopterus, Gunkgoaceae, Osmunda, Selaginella, Licopodiaceae, Conifera, Ammotriletes platirugosus, Zonotriletes praevalens.

З.Выше д.Хандала на правом берегу р.Усолки из голубовато-серых аргиллитов нами отобрана проба, содержащая: Leiotriletes nigritellus (Lub.)Naum., L. platirugosus (Waltz)Naum., L. pyramidalis (Lub.)Naum., Zonotriletes trichacantus (Lub.)Naum., L. gibberulus (Lub.) Naum. (определение Л.Н.Петерсон).

4. В пробе, отобранной из углистых аргиллитов выше д.Ялай, содержатся: Leiotriletes nigritellus (Lub.) Naum., L.platirugosus (Woltz.) Naum., L.atavus Naum., L.pyramidalis (Lub.) Naum., Acanthotriletes parvispinus (Lub.) Naum., A.resistens (Lub.) Naum., A. accuratus (Andr.) Naum., Lophotriletes breviapiculatus (Lub.) Naum., Zonotriletes psilopterus Lub. (определение Л.Н.Петерсон). По заключению Л.Н.Петерсон возраст отложений содержащих эти комплексы может быть датирован как Со-Ра.

## М ЕЗОЗОЙСКАЯ ГРУППА ЮРСКАЯ СИСТЕМА

Отложения юрского возраста пользуются на территории листа О-46-XXIX широким площадным распространением. По сравнению с комплексами юрских осадков, распространенных юго-западнее, в пределах Рыбинской впадины, юрские отложения, развитые на территории диста, отличаются рядом особенностей.

По сравнению с нижне- и среднеюрскими отложениями Рыбинской впадины, имеющими суммарную мощность порядка 500 м, максимальная мощность нижне- и среднеюрских отложений в пределах листа значительно меньше и составляет 330 м.

Достаточное четкое цикличное строение в отложениях Рыбинской впадины, в пределах описываемой площади не наблюдается. Существенной особенностью юрских отложений, распространенных в пределах описываемой территории, является и наличие здесь отложений верхнеюрского возраста, отсутствующих в пределах Рыбинской впадины.

### нижний отдел

П е р е я с л о в с к а я с в и т в (J<sub>1</sub>/гг). Отложения переясловской свиты имеют незначительное распространение и выходят на
дневную поверхность лишь на крыльях Тынысскои и Мурминской антиклинальных структур. Наиболее полный разрез свиты вскрыт буровыми скважинами треста "Востсибнефтегеология" у с.Мурма. Здесь на
отложениях верхнего кембрия залегают (снизу):

Из отложений переясловской свиты у южной оконечности с.Мурма А.В.Аксариным собраны отпечатки флоры, определенные как Podozamites lanceolatus, Hausmania crenata, Cladophlebis haiburnensis, Cladophlebis sp., Pityophyllum longifolia, Pityophyllum sp.

По присутствию Hausmania crenata эти отложения отнесены к нижней юре.

## Средний отдел нерасчлененный (д.)

Среднеюрские отложения, пользующиеся широким распространением в пределах описываемой территории.

Наиболее полный разрез вскрывается скважиной у д.Мурма. Он имеет следующий вид ( снизу ):

- - 2. Песчаники голубовато-серые кварц-полевошпатовые . 28 м
- . З. Аргиллиты темно-серые, плотные, с прослоями мелковернисто-
- 4. Песчаники темно-серые, слабосцементированные, кварц-поле вошпатовые, чередующиеся с голубовато-серыми тонкозернистыми кварцевыми песчаниками.

Общая мощность отложений срадней юры не превышает 260 м.

Среднеюрский возраст вышеописанных отложений подтверждается определениями содержащихся в этих отложениях отпечатков, флоры и спорово-пыльцевых комплексов.

В З км от д.Тыныс вверх по течению р.Мурмы на левом ее бор-

ту отмечены находки: Phaenicopsis sp.indet., Ginkgo huttonii (Sternb.) Heer., Czekanowskia rigida Heer., Pityophyllum longifolium Nath., P. sp.

На левом берегу р.Усолки у д.Глинная нами собрана флора, определенная В.М.Ковбасиной как Czekanowskia rigida Heer., С. setacea Heer., Pityophyllum nordenskioldii (Hezr), P. sp., Podozamites sp., Cladophlebis pectinatus Aks., Phaenicopsis sp.

На левом берегу р.Усолки у д.Хандала В.М.Ковбасиной определены: Phaenicopsis sp.indet., Pityophyllum sp.

В верхних горизонтах толщи у д.Канарай Б.А.Фуксом и Л.П.Плотниковым собраны Cladophlebis haiburnensis Lettl., Equisetites oinnaeetolium Aks., Phaenicopsis angustifolia Heer., Czekanowskia setacea Heer., C.rigida Heer.

На северном берегу оз.Улюколь И.А.Санжара и А.В.Ивановой в юрских породах найдены отпечатки Cladophlebis nalivkini Th., Сопіортегія sp., Eborasia lobifolia (Phill.) Th., свидетельствующие о юрском возрасте пород.

Несколько восточнее найдены: Podozamites lanceolatus intermelius (Lend.), P.lanceolatus ovalis L.et н. и ядра пелеципод Perganoconcha sibirica Tsherm. F. burejensis Leb.

В определенном И.П.Табачниковой спорово-пыльцевом комплексе во многих случаях споры преобладают над пыльцой голосеменных растений. И.П.Табачникова отмечает, что этот комплекс имеет большое сходство с комплексом камалинской свиты Рыбинской впадины. Кроме того, он близок комплексам среднеюрских отложений Западно-Сибирской низменности. Из спорово-пыльцевых проб, отобранных в районе озера Улюколь, палинолог А.Г.Медовая выделяет два спорово-пыльцевых комплекса, имеющих процентный состав видов, сходный с комплексами спор и пыльцы отложений средней юры Канско-Ачинского бассейна

Первым комплекс жарактеризуется присутствием спор в количестве от 10% до 30,5% от общего числа зерен, из них Coniopteris от 5 до 24%, Selaginella perfecta N.от 5% до 6,5%. Пыльца присутствует в количестве от 69,5% до 90%. Из них Conifera от 25% до 42,5% Bennettitales sp. от 0,5 до 8,5% и другие от 0,5 до 6%.

Второй спорово-пыльцевой комплекс характеризуется обилием пыльцы Расрамовранета от 37,5 до 51,5% от общего числа зерен, а так же обилием пыльцы Podozamites sp. — 26% от общего числа зерен.

## Верхний отдел ( Ј3)

Отложения верхне юрского возраста залегают согласно на среднеюрских породах, выходя на поверхность на крыльях синклинальных структур, ядра которых выполнены меловыми осадками. Эти отложения верхней юры, вскрытые скважиной в окрестностях д.Мурма, представлены переслаиванием серых мелкозернистых карбонатных песчаников с темно-серыми почти черными аргиллитами.

Общая мощность отложений верхней юры составляет 120 м.

Из описанных выше аргиллитов H.H.Тазихиным были собраны гастроподы: Limnocyrena sp., Lioplax sp., Valvata cf. helicoides Murtins., U. sp. и филлоподы: Pseudoestheria sp., Brachysthe - ria aff. innoceus Nov., Bairdestheria intermedia (Chi), B.sp.

По заключению Г.Г.Мартинсона и В.С.Заспеловой, эти формы датируют возраст описываемой толщи в широких пределах от верхней юры до нижнего мела включительно. В связи с тем, что эти отложения залегают на среднеюрских согласно, Н.Н.Тазихин допускает принадлежность их к верхнеюрскому возрасту. Автор записки целиком разделяет эту точку зрения.

### нижний отдел меловая система

Илекская свита (Ст. є в). Отложения мелового возраста были впервые описаны Б.А.Фуксом (1958, ф) и Л.П. Плотниковым (1958, ф). Большинством предыдущих исследователей эти отложения описывались как девонские.

Породы илекской свиты согласно, с постепенным переходом залегают на верхнеюрских отложениях, выполняя узкую синклиналь мери дианального простирения, протягивающуюся от д.Большая Степь на юге до р.Мурмы на севере. Кроме того эти отложения отмечаются к северу от озера Улюколь и у д.Борки.

Характерной особенностью отложений илекской свиты является пестрея окраска с преобладанием красных, фиолетовых и голубовато-зеленых тонов. Наиболее полный резрез свиты вскрыт скважиной у д.Караульное.

На юрских отложениях здесь залегают (снизу):

- 2. Песчаники светло-серые, желтовато-серые, розоватые, оранжевые, содержащие прослом красно-бурых слюдистых алевролитов и ар-

определяется на основании следующих данных:

Из нижней части разреза свиты Б.А.Фуксом были собраны пелециподы Valvata cf.helicoides For. и Lioplax cf.karanzaica Mart. указывающие, по мнению определившего их А.В.Аксарина, на верхнеюрский — нижнемеловой возраст.

В верхней части разреза свиты Н.Н.Тазихиным были найдены пелециподы Kija elongata Leb. и фрагменты Unio sp. По заклю —
чению Г.Г.Мартинсона, первая из перечисленных выше форм встречается в верхней юре Сибири. Приведенные выше данные позволяют датировать возраст пестроцветных отложений как  $J_{3-}$  Ст1

Н.Н.Тазихин относит эти отложения к нижнему мелу, учитывая литологическое их сходство с заведомо нижнемеловыми осадками, а так же то, что пестроцветные отложения залегают на верхнеюрских осадках, резко отличающихся по своему характеру от описанных выше. Эта точка зрения является, по нашим представлениям, правильной.

## КАЙНОЗОЙСКАЯ ГРУППА НЕОГЕНОВАЯ СИСТЕМА Нижний отдел

к и р н а е в с к а я с в и т а (N<sub>1</sub> hin). Наиболее распространенными породами в составе кирнаевской свиты являются галечники, занимающие, в большинстве случаев, водораздельные пространства в полосе, прилегающей к восточному склону Енисейского кряжа.

Галечники сложены хорошо окатанной галькой гнейсов, гранитов, светлых кварцитовидных и вишнево-бурых косослоистых песчаников. Размер галек колеблется от 3-5 до IO-I5 см в диаметре. Цементом галек служит желтовато-бурый и золотисто-желтый неравномернозернистый песок. В меньших количествах в составе кирнаевской свиты присутствуют железистые гравелиты, сложенные слабоокатанной галькой кварца, сцементированной гидроокислами железа. Эти породы приурочены, как правило, к верхней части разреза. В виде отдельных прослоев и линз среди галечников и гравелитов встречаются железистые песчаники, коричневатые и вишнево-бурые, состоящие из разновернистого кварц-полевошпатого материала.

мощность отложений кирнаевской свиты 80 м.

Особенности литологического состава отложений кирнаевской свиты, галька которых состоит преимущественно из пород, слагающих Южно-Енисейский кряж, а так же приуроченность этих отложений к узной полосе, окаймляющей восточный склон Южно-Енисейского кряжа,

свидетельствуют о том, что грубообломочные осадки кирнеевской свиты являются переотложенными продуктами размыва пород; Накопление галечников совпало со временем оформления Южно-Енисейского кряжа как орографической единицы в современных его границах. Возраст отложений определяется тем, что к северу описанные выше галечники непосредственно переходят в отложения, относимые к кирнеевской свите, время формирования которой, по данным спорово-пыльцевых знализов, соответствует нижнему неогену.

#### ЧЕТВЕРТИЧНАЯ СИСТЕМА

Верхнечетвертичные и современные отложения объединенные Отложения четвертичной системы имеют в пределах территории листа повсеместное распространение. На геологической карте они выделяются лишь по долинам рек.

Аллювиальные отложения в районе представлены галечниками и песками, делювиальные супесями и суглинками. Мощность делювиальных отложений непостояние и колеблется в пределах от 5 до 15 м.

### интрузивные образования

На территории листа 0-46-XXIX выделяются следующие интрузивные комплексы: кимбирский, таракский, токминский, нижнеканский ( посольненский) и формация сибирских траппов.

Кимбирский комплекс (VA) является наиболее древним из всех известных в районе интрузивных образований. Наибольшим распространением образования его пользуются в бассейнах рр.Бол.Весниной, Мурмы, Телькуна, будучи приуроченными к глубоко метаморфизованным породам канской серии. Размеры и форма первичных тел этого комплекса в настоящее время не устанавливаются. В результате неоднократных процессов метаморфизма первичные тела подверглись дроблению и разобщению на ряд отдельных блоков, за частую утративших непосредственную связь с корнями материнской интрузии (явление блокирования и образование безкорневых интрузий по Седерхольму).

в настоящее время породы кимбирского комплексе наблюдаются в виде линзовидных тел. Размеры отдельных тел не постоянны. Наиболее крупные из них достигают I-2 км в длину и 400-600 м в поперечнике.

Породы, слагающие интрузии комплекса, представлены норитами и габбро-норитами. Наименее измененые разности норитов и габброноритов имеют темно-серую окраску, массивную текстуру и сохраняют облик нормальной интрузивной породы. Структура пород в большин-

стве случаев офитовая, реже габбро-офитовая. Главнейшими составными частями их являются плагиоклаз и гиперстен.

Плагиоклаз (лабрадор № 65-67), присутствующий в количестве 45-60%, представлен удлиненно-призматическими зернами. Промежутки между зернами плагиоклаза выполнены кристаллами гиперстена. В отдельных разновидностях пород в промежутках между зернами плагиоклаза размещаются зерна калиевого полевого шпата. Краевые части кристаллов плагиоклаза в теких случаях имеют криптопертитовое строение. В отдельных разновидностях пород кристаллы гиперстена прорастают зернами моноклинного пироксена и биотита. Иногда процесс замещения развивается настолько сильно, что замещению под вергается и лабрадор. В качестве акцессорных минералов в породах присутствуют магнетит и ильменит, в виде ксеноморфных зерен. Содержание ильменита в отдельных случаях достигает 4-5%.

Значительно измененные разновидности габороидов обнаруживают структуру, близкую к гранобластовой, и состоят из изометричных полигональных кристаллов лабрадора и гиперстена. Моноклинный пироксен в таких разновидностях пород, как правило, отсутствует. Контактовые воздействия пород кимбирского комплекса на вмещающие образования совершенно затушеваны многократными процессами метаморфизма. Какие-либо жильные образования, связанные с кимбирским комплексом, на территории листа не отмечаются.

Возраст кимбирского интрузивного комплекса определяется достаточно четко тем обстоятельством, что породы его изецируются таракскими гранитами, время проявления которых, по данным определений абсолютного возраста, относится к архею.

Таракский массив перекрыт красноцветными терригенными породами кембро-протерозоя.

Центральная часть Таракского интрузивного массива сложена серыми крупнокристаллическими порфировидными биотитовыми гнейсо-гранитами. Отличительной особенностью этих пород является наличие в них многочисленных порфировых выделений крупных ( 3х7 см ) кристаллов микроклина, имеющих, зачастую, ясно выраженную ориентировку. Основная масса пород этого типа сложена плагиоклазом, калинатровым полевым шпатом, кварцам, биотитом.

Плагиоклаз (олитоклаз) присутствует во всех разновидностях пород в количестве 25-30%, образуя широкотаблитчатые кристаллы, часто замещаемые тонкозернистым агрегатом альбита, эпидота и серицита. Содержание калинатрового полевого шпата непостоянно и колеблется в пределах 35-50%, иногда повышаясь до 60%. Представлен он решетчато-сдвойникованными кристаллами, часто с пертитовыми выделениями грубой веретенообразной и неправильной формы. Калинатровой полевой шпат сильно корродирует кристаллы плагиоклаза.

Кварц присутствует в количестве 30-35% в виде ксеноморфных зерен с облачным погасанием, корродирующих перечисленные выше минералы. Пластинки и чещуйки зеленовато-бурого биотита, составляющего 5-8% породы, иногда слабо хлоритизированы и слегка обесцвечены. В качестве акцессорных минералов в породах присутствуют монецит и апатит.

Краевая часть Таракского гранитного массива и сопровождающие аго мелкие тела акмолитоподобной формы сложены светло-серыми гранатовыми гнейсогранитами. Макроскопически граниты этого типа отличаются от гранитов центральной зоны массива более светлой окраской, меньшим размером зерен минералов, слагающих породы, и наличием граната. При микроскопическом изучении устанавливается, что различия заключаются так же в повышении количественного содержания и основности плагиоклаза и уменьшении количества биотита и калинатрового полевого шпата. Среди этой группы пород, на ряду с гранитами, встречаются гранодиорить.

Довольно широким распространением в пределах пород таракского комплекса пользуются лейкократовые граниты, являющиеся наиболее поздней группой пород, завершеющей процесс формирования Та —
ракской интрузии. Граниты этого типа образуют отдельные жилы мощностью от I до 15-20 м и реже отдельные мелкие тела типа штоков.
Б.М.Струниным и Г.М.Выборным (1961) в составе таракского комплекса описываются так же мелкокристаллические мусковитовые и двуслюдяные граниты, пользующиеся распространением в бассейне р.Слюдянии.

Контактовов воздействие таракских гранитов на вмещающие породы заключается в интенсивном инъекционном метаморфивме, обусловливающем появление мигматитов различных морфологических типов (артериты, небулиты, агматиты). Ширина полосы инъекционных гнейсов, окаймляющих Таракский гранитный массив с юго-запада, дости гает 15 км. На отдельных участках инъекции гранитного материала принимают карактер довольно четко выраженных полос мощностью от I до 4-5 см, внедряющихся по сланцеватости во вмещающие породы. В результате возникают полосчатые инъекционные гнейсы. В других местах вмещающие породы пронизываются тонкими в I-2 мм послойными инъекциями.

К жильным образованиям, связанным с гранитами таракского комплакса, относятся пегматиты, пользующиеся широким распространением в пределах притаракской зоны мигматитов. Наиболее крупные
жилы пегматитов имеют мощность 5-6 м и состоят из грубозернистого аграгата кристаллов желтоватого и белого полевого шпата и серого кварца.

Определение возраста пород таракского комплекса производилось отрядом Енисейской экспедиции МГУ (Волобуев, 1960 ф). Работника-ми этой экспедиции был произведен ряж определений абсолютного возраста из отдельных разновидностей пород таракского комплекса, метаморфических производных таракских гранитов и жильных образований, связанных с этими гранитами.

Обобщив результаты исследований, авторы приходят к выводу, что формирование Таракского массива происходило в три основных этапа: первый — 1850 х 10<sup>6</sup> лет — отвечает, вероятно, первоначальным стадиям формирования; второй — в интервале 110-1300 х 10<sup>6</sup> лет — гидротермальному и частично калиево-метасоматическому преобразованию гранитов. Третий этап — этап наиболее интенсивного проявления калиевого метасоматоза. Возраст пород таракского гранитного комплекса датируется нами как архейский, учитывая то обстоятельство, что к архейскому времени относится формирование основной массы пород гранитного ряда. Последующие процессы носят, по существу, наложенный характер и вызывают лишь частичное преобразование первичных пород.

Токминский комплекса ограничивается площадью, занимаемой докембрийскими метаморфическими и магматическими образованиями. Породы токминского комплекса слагают дейки, прорывающие таракские граниты и гнейсы канской серии. Мощность деек колеблется от I до  $15-20\,$  м.

Какой-либо закономерности в простираниях даек не наблюдается. Сложены они диабазами, габбро-диабазами, реже диабазовыми порфи ритами. Все эти породы характеризуются общностью происхождения и минерального состава. Различия между ними заключаются лишь в структурно-текстурных особенностях, которые в свою очередь, определяются размереми двек.

Диабазы, слагающие дайки мощностью от I до 8-10 м, представляют собой массивные породы зеленовато-черного цвета, обладающие
четко выраженной офитовой структурой и состоящие из сильно удлиненных кристаллов лабрадора (54-58), как правило, в значительной
степени замещенных агрегатом альбита и эпидота, кристалов пироксена, выполняющих промежутки между зернами плагиоклаза. В боль шинстве случаев пироксены полностью или частично замещаются агрегатом светло-зеленой волокнистой роговой обманки.

В отдельных разновидностях пород в незначительных количест - вах присутствует калиевый полевой шпат, как правило, в микроскопических срастаниях с кварцем. Часто отмечается и биотит, образующий каемки вокруг рудного минерала, представленного скелетообразными кристаллами и выделениями неправильной формы. Во всех разновидностях описываемых пород присутствует апатит в виде сильно удлиненных кристаллов.

Габбро-диабазы, слагающие дайки мощностью 15-20 м, по мине - ральному составу аналогичны описанным выше диабазам и отличаются от них лишь значительно большими размерами кристаллов и особен - ностями микроструктуры (габбровая, габбро-офитовая).

Возраст пород токминского комплекса определяется как верхнепротерозойский в соответствии с утвержденной легендой Енисейской серии.

Нижнеканский (посольненский) комплекса распространены в северо-западной части листа, в бассейне р.Грязной Шилки, где они представлены серией мелких, согласных с вмещающими толщами линзовидных тел. В виде отдельных секущих дайкоподобных тел и штоков они встречаются так же в поле распространения таракских гранитов.

Наибольшим распространением в составе пород комплекса пользуются розовые лейкократовые, биотитовые и двуслюдяные граниты и гнейсо-граниты. Достаточно широким распространением пользуются так же граниты пегматоидного облика. Несколько реже встречаются мусковитовые граниты.

Наиболее распространенные разновидности нижнеканских гренитов обнаруживают гипидиоморфнозернистую или близкую к ней структуру и состоят из изометричных или слабо удлиненных зерен олигоклаза ( до 30% ), изометричных кристаллов микроклина ( до 40% ), ксено-

морфных с облачным угасанием зерен кварца ( 25-30% ). В случаях присутствия в породе биотита, последний представлен зеленовато-бурыми удлиненными листочками без концевых граней, часто в законо-мерном срастании с мусковитом. Иногда в основной массе пореды биотит образует скопления незакономерно ориентированных пластинок. Из акцессорных минералов в породах присутствуют циркон и апатит.

Гнейсовая текстура гнейсогранитов выражается в чередовании полосок, обогащенных мозаично угасающим кварцем, с полосками, обогащенными биотитом. Среди процессов контактового воздействия нижнеканских гранитов на вмещающие породы резко преобладает процесс инъекционного метаморфизма, обусловивший наличие довольно значительных зон инъекционных гнейсов вокруг отдельных гранитоидных тел.

жильные образования, связанные с гранитами этого комплекса, представлены аплитами и розовыми пегматитами, сложенными крупнокристаллическим агрегатом полевого шпата и кварца с редкими кристаллами мусковита. Очень тесную пространственную связь с гранитами этого комплекса обнаруживают так же многочисленные жилы молочно-белого кварца, наблюдаемые как в поле распространения самих
гранитов, так и во вмещающих породах, в непосредственной близости
от гранитных тел.

Возраст пород нижнеканского гранитоидного комплекса определяется на основании следующих данных. К северу и западу от описываемой территории эти граниты прорывают отложения позднепротерозойского возраста. Определение абсолютного возраста мусковита из нижнеканских пегматитов аргоновым методом, произведенное Иркутской лабораторией по определению абсолютного возраста, дало цифру в 771 млн.лет, что соответствует верхам протерозоя.

Ф о р м а ц и я с и б и р с к и х т р а п п о в ( $\beta$ - $\beta\mu$ ) Р-Т Породы траппового комплекса распространены в северо-восточной части листа в бассейне р.Усолки. Форма трапповых тел различна, но преобладают силлы и дайки. Мощность наиболее крупных силлов достигает I2О м. Силлы и дайки сложены зеленовато-черными среднекрис - таллическими долеритеми, нередко с шаровой отдельностью. При микроскопическом изучении устанавливается, что долериты имеют пойкилофитовую структуру, обусловленную пойкилитовыми вростками идио-морфных призматических полисинтетически сдвойникованных кристал - лов лабрадора в крупных кристаллах авгита. Изредка в основной массе породы отмечеются округлые зерне оливина. В значительных количествах в виде зерен неправильной формы в породе всегда присутст-

вует рудный минерал. В контакте долеритов с выещеющими породами последние оплавлены и обожжены. Участками на контакте отмечается ожелезнение вмещающих пород. Зона контактового воздействия незначительна и, как правило, не превышает 0.5 м.

#### ТЕКТОНИКА

Территория листа 0-46-XXIX охватывает отдельные участки трех крупных тектонических структур: Южно-Енисейской глыбы архейской складчатой системы, Предъенисейского краевого прогиба, Канско-Тасеевской платформенной мезозойской владины.

#### Dжно-Енисейская глиба

К этой структуре относится ангаро-канская часть Енисейского кряжа, сложенная глубокометаморфизованными отложениями архейского возраста. Эта часть кряжа является древней архейской глыбой в пределах складчатой системы байкалид. С запада йжно-Енисейская глыба граничит с Западно-Сибирской плитой, верхний структурный ярус которой сложен мезозойско-кайнозойскими осадками. С востока к ней примыкает Предъенисейский краевой прогиб, выполненный терригенно-карбонатными отложениями верхнепротерозойско-кембрийского и кембрийского возраста.

В структурном отношении ангаро-канская часть кряжа является крупной антиклинальной структурой северо-западного простирания, запрокинутой на юго-запад. Территория листа охватывает часть северо-восточного крыла этой структуры, осложненного складками более высоких порядков. Распространенные в пределах листа гнейсы имеют северо-западное простирание, в северной части переходящее в меридианальное. Это простирание хорошо подчеркивается узколо - кальными магнитными аномалиями, четко проявляющимися на фоне резкодифференцированного магнитного поля, характерного для южной части Енисейского кряжа. В подавляющем большинстве случаев наблюдаются падания слоев пород на северо-восток, значительно реже отмечаются юго-западные педения.

Единообразие в падении пород и повторнемость отдельных разновидностей пород в разрезе позволяют говорить о напряженной изоклинальной складчетости, с падением крыльев складок на северо-восток. Размах крыльев складок колеблется от 100 до 600-800м. Крылья таких складок дополнительно осложняются мелкой складчетостью пигматитового типа, а так же веерными и лежачими складками.

Широким распространением в области развития гнейсовых толщ

пользуются дизъюнктивные нарушения, представленные крупными разломами, имеющими характер надвигов с падениями плоскостей сместителя под /50-70° в сторону платформы. Разломы сопровождаются вонами дробления с образованием ультра- и бластомилонитов и тектонических брекчий. Процессам милонитизации подвергаются как гнейсы, так и гранитоиды таракского комплекса. Наиболее крупный разлом прослеживается на протяжении 60 км от северной до южной границы листа, продолжаясь и далее к югу. Ширина зоны милонитов в пределах разлома колеблется от І до 4-х км. Хорошо выдерживающиеся по простиранию милониты в пределах основных зон чередуются с линзами менее измененных катаклазированных пород. В полосе пород. граничащей с зонами основных разломов, широко развиты ветвящиеся и кулисообразно сменяющие друг друга линзы милонитов мощностью от 1-2 м до 300-400 м, чередующиеся с участками неизмененных гнейсов и гранитов. Время проявления описанных выше разломов и сопровождеющих их милонитов относится к докембрию, поскольку милониты пронизываются инъекциями нижнеканских гранитов и переходят в участках с наиболее обильной инъекцией в инъекционные гнейсы.

## Предъенисейский краевой прогиб

Территория листа 0-46-XXIX охватывает юго-западную часть этой крупной структуры, ограничивающейся с запада Южно-Енисейской глыбы архейской складчатой зоны. Предъенисейский краевой прогиб представляет собой крупную синклинальную структуру, протягивающуюся вдоль восточной окраины Енисейского кряжа, выполненную терригенными и карбонатными соленосными осадками верхнепротерозойско-кембрийского и кембрийского возрастов. Эти отложения имеют большую мощность, которая превышает в 5-6 раз мощность синхронных им отложений, распространенных восточнее, в пределах платформы.

Произведенные расчеты глубины до возмущающих магнитных масс в области Тасеевского магнитного максимума, по данным А.В.Благодатского, дают цифру IO-I5 км. В пределах прогиба на всем протяжении фиксируется полоса отрицательных аномалий Буге интенсивностью в 70-80 мгл. Расчеты на основании этих данных, в общем, подтверждают указанную выше цифру суммарной мощности осадков до фундамента. Не противоречат этим цифрам и геологические данные.

Предъенисейский краевой прогиб, в пределах территории листа, имеет достаточно сложное внутреннее строение, характеризующееся развитием серии последовательно сменяющих друг друга прогибов и валов. В пределах территории листа выделяются: Канашско-Раздоль-

нинская синклиналь, Сивохино-Колонский вал, Плахановская синклиналь и Троицко-Михайловский вал ( рис.I ).

## Канашско - Раздольнинская синклиналь

Канашско-Раздольнинская синклиналь протягивается в субмери - дианальном направлении, ограничиваясь с запада Южно-Енисейским кряжем, а с востока на юге Троицко-Михайловским валом, а на савере Сивохино-Колонским валом. Размеры и некоторые особенности строения синклинали устанавливаются по данным аэромагнитной съемки, гравиметровых и электроразведочных работ. Ось Канашско-Раздоль - нинской синклинали проходит через Канаш, Лукашино, Раздольное, Тарай. В пределах изученной площади структура протягивается на расстоянии 70 км и уходит к северу за территорию листа. Размах крыльев структуры колеблется от 8-10 до 20 км.

Непосредственному изучению доступно западное крыло структуры, сложенное терригенными осадками тасеевской серии. Эти отложения несогласно залегают на гранитоидах таракского комплекса, либо граничат с ними по тектоническому контакту. Углы падения пород колеблются в пределах IO-20°. На отдельных участках общее падение крыла Канашско-Раздольнинской синклинальной структуры осложняется целым рядом флексурных перегибов и вертикальных смещений, в результате чего крыло приобретает довольно сложное ступенчатое строения. По данным гравиметровой съемки углы падения западного крыла синклинали значительно увеличиваются к югу. Максимальная амплитуда прогибе структуры, по данным геофизических работ, располагается в районе д.Лукашино.

#### Сивохино-Колонский вал

Сивохино-Колонский вал выявлен гравиметровыми работами как выступ фундамента с осью, проходящей через дд.Сивохино-Струково-Средн.Колон. В районе д.Средн.Колон он смыкается с Троицко-Ми - хайловским валом. Структура изучена очень слабо, так как на по - верхности своего отражения не находит, а буровые работы в пределах ее не проводились.

#### Плехановская синклиналь

Плехановская синклиналь — структура меридионального прости — рания, с осью проходящей через деревни Средн. Мурма, Круглова, Плеханова и ограниченная с запада Сивохино-Колонским, а с восто-ка Троицко-Михайловским валом. Синклиналь постепенно выполаживается к югу и замыкается в районе д.Средн.Колон.

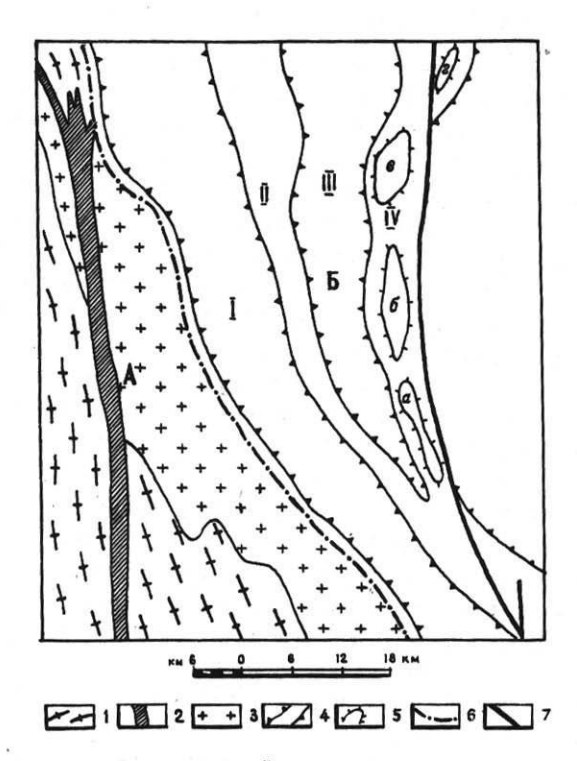


Рис. I. Сжема структур архейско-нижнепалеозойских отложений I — структурные элементы в архейско-протерозойских образованиях; 2 — зона милонитов; 3 — интрузивные образования; 4 — границы положительных и отрицательных структур в протерозойско-нижнепалеозойских отложениях; 5 — границы положительных структур в пределах Троицко-Михайловского вала; 6 — граница между основными тектоническими структурами; 7 — тектонические нарушения. Цифрами и буквами на схеме обозначены: А — Ежно-Енисейская глыба, Б — Предъенисейский краевой прогиб; I — Канашско-Раздольнинская синклиналь; П — Сивохино-Колонский вал; Ш — Кругловская синклиналь; IУ — Троицко-Михайловский вал: а — Канарайская антиклиналь, б — Караульнинская антиклиналь, в — Тынысская антиклиналь, г — Мурминская антиклиналь

#### Троицко-Михайловский вал

Это наиболее крупная и четко проявляющаяся структура, выявленная геофизическими и буровыми работами. Общая форма и размеры
вала устанавливаются по данным гравиметровых и электроразведочных
работ. В первом случае облесть поднятия фиксируется небольшим по
амплитуде, но достаточно устойчивым максимумом аномалии вертикальной составляющей на общем фоне спокойного гравитационного поля,
характерного для Предъенисейского краевого прогиба. По данным бурения отмечается погружение опорного горизонта к западу и востоку.

Троицко-Михайловский вал представляет собой рубцовую складку древнего заложения, протягивающуюся через территорию всего листа. В южной части листа вал имеет северо-западное простирание, сменяющееся к северу на меридианальное. Возникновение и развитие этой структуры, по представлениям автора, тесно связано с зонами размомов и блоковыми движениями в породах фундамента. Западное крыло вала пологое, с углами, не превышающими 8-IO<sup>O</sup>. Восточное крыло осложнено крупным тектоническим нарушением, фиксирующимся как непосредственными наблюдениями, у д.Канарай, так и буровыми скважинами. Наличие разлома, в районе д.Тыныс подтверждается сейсморазведкой, отмечающей резкое понижение одного из фиксирующихся горизонтов восточного крыла вала на значительную глубину. В результате ундуляции шарнира вала в пределах его устанавливаются достаточно четко выраженные антиклинали: канарайская, караульнинская, тынысская, мурминская.

Канарайская антиклинали осложнено крупным нарушением с амплитудой смещения до 300 м.

Караульнинская антиклиналь (б) Располагается между селеми Караульное и Канарай и представляет собой 
вытянутую в меридианальном направлении асимметричную антиклинальную складку. Длинная ось структуры равна 12-15 км, короткая -4 км. 
Сводовая часть антиклинали располагается западнее д. Бурмакино. 
Восточное крыло структуры срезано сбросом.

Тынысская антиклиналь (в). Расположена юго-восточнее д.Тыныс. Является асимметричной брахиантиклинальной складкой субмеридианального простирания. Длинная ось структуры прослеживается на 7,5 км, короткая — на 3,5 км. Западное крыло структуры пологое, с углом падения не превышающим I5°, восточное более крутое, имеющее угол падения в 20°, осложнено сбросом.

М у р м и н с к а я а н т и к л и н а л ь ( т ). Располагается с северо-восточной части листа в района д.Мурма. Представляет собой вытянутую в северо-восточном направлении складку со сводом округлой формы. Длинная ось структуры равна 5 км, короткая — -0.5-I км. Амплитуда складки достигает 65 м. Антиклиналь характеризуется суженной удлиненной формой и асимметричным строением с пологим западным (5-8°) и крутым восточным (20°) крылом.

Все перечисленные выше структуры характеризуются асимметричным строением, обусловленным значительно большими углами падения восточных их крыльев. Б.Н.Красильников (1963) рассматривает эти структуры как конседиментационные.

Восточнее Троицко-Михайловского вала отложения кембрия в пределах листа имеют, в целом, моноклинальное падение на восток-северо-восток, осложняясь на отдельных участках разрывными нарушениями меридианального простирания.

#### канско-Тасеевская депрессия

Канско-Тасевская депрессия является, по своему жарактеру, наложенной платформенной структурой, выполненной верхнепалеозойскими и мезозойскими отложениями (рис.2). Несмотря на то, что верхнепалеозойские и мезозойско-кайнозойские отложения разделены значительным по времени перерывом в осадконакоплении, они в целом
имеют общий структурный план и поэтому рассматриваются вместе.
Наблюдаемое на отдельных учестках несовпадение структурного плана - больше кажущееся, и обусловлено не разницей в особенностях
тектонического строения, а несовпадением площадей распространения
верхнепалеозойских и мезозойских пород.

Отложения выполняющие Канско-Тасеевскую депрессию образуют ряд пологих структур типа мульд. В одних случаях эти структуры сохраняют в целом строение и знак структур более древнего формирования, в других — являются резко неложенными.

В пределах территории листа выделяются следующие основные структуры: Тарайская, Бурмакинская, Боркинская, Белоярская, Улю-

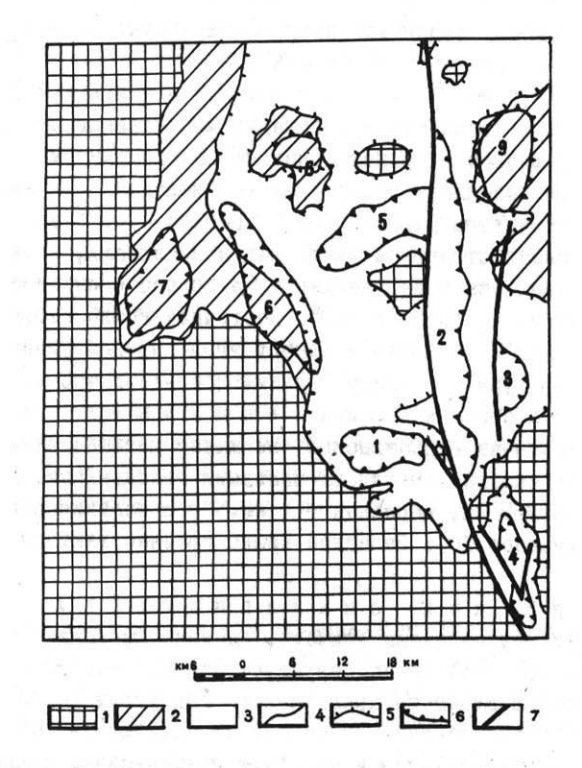


Рис. 2. Схема структур верхнепалеозойских и мезозойских отложений

1 - архейско-нижнепалеозойские образования;
 2 - верхнепалеозойские отложения;
 3 - мезозойские отложения;
 4 - границы верхнего палеозоя;
 5 - границы мезозоя;
 6 - границы положетельных и отринательных структур;
 7 - тектонические нарушения;
 Цифрами на схеме обозначены:
 1 - Тарайская синклиналь;
 2 - Бурмакинская синклиналь;
 3 - Боркинская синклиналь;
 4 - Белоярская синклиналь;
 5 - Плехановская синклиналь;
 7 - Среднемурминская синклиналь;
 8 - Унжинская антиклиналь;
 9 - Тасеевская антиклиналь

кольская, Бобровская, Плехановская, Лукашинская синклинали и Унжинская и Тасеевская антиклинали.

Тарайская синклиналь (I) расположена между д.Канарай на севере и р.Средний Топол на юге. Сложена среднеюрскими породами. Амплитуда прогибания структуры незначительна. Углы падения крыльев составляют 4-6°.

Б у р м а к и н с к а я с и н к л и н а л ь ( 2 ) представляет собой узкую синклинальную складку меридианального простирания, протягивающуюся от р.Мал.Топол на юге до р.Мурма на севере. Ядро структуры выполнено пестроцветными меловыми отложениями. Длинная ось структуры равна 60 км, короткая — от 6 до 10 км. В целом описываемая структура имеет вид моноклинали, ограниченной с запада тектоническим нарушением типа сброса с падением плоскости сместителя на восток под  $\angle 60^{\circ}$ . Восточное крыло структуры падет под углом  $10-25^{\circ}$ . Ближе к центру углы падения увеличиваются. Амплитуда структуры по данным бурения превышает 450 м.

Боркинская синклиналь (3) по своему строению аналогична Бурмакинской, но имеет меньшие размеры. Центральная часть складки выполнена меловыми отложениями. Длинная ось структуры равна 5 км, короткая — 4 км. Угол падения восточного крыла не превышает  $10^{\circ}$ . Западное крыло срезано тектоническим нарушением.

Белоярская синклиналь (4) прослеживаетсяк северу и югу от озера Улюколь, сложена юрскими и меловыми
отложениями. Западное крыло структуры срезано тектоническим нарушением. Породы восточного крыла падают под углом IO-I8°. Меловые
отложения, распространенные к северу от оз.Улюколь, ограничены
тектоническими нарушениями и образуют грабен-синклинальную структуру.

Плехановская синклиналь (5) имеет субширотное простирание. Она выражена в юрских отложениях и располагается между Тынысской и Караульнинской антиклиналями нижнепалеовойского возраста. Длинная ось складки имеет протяженность 10 км, короткая 3-5 км. Углы падения крыльев не превышают 5-10°.

Лукашинская синклиналь (6) располагается в районе д.Лукашино. Имеет сильно вытянутую в северо-вападном направлении форму с длинной осью 12-15 км и короткой 5-6 км. Углы падения крыльев складки не превышают  $10^{\circ}$ . Синклинельное строение этой структуры выражено как в юрских, тек и в верхнепалеозойских отложениях.

Среднем урминская синклиналь (7) расположена в среднем течении р.Мурмы, выше д.Ялей. Представляет изометричную, очень пологую складку в отложениях верхнего палеозоя с углами падения крыльев, не превышающими 2-3°.

Унжинская антиклиналь южной частью Унжинско-Данив районе дд. Унжа-Вахрушево. Является южной частью Унжинско-Даниловского поднятия. В плане антиклиналь имеет изометричную форму. Центральная часть структуры сложена пермокарбоновыми отложениями, на крыльях залегают отложения средней юры. Углы падения крыльев структуры не превыщают 2°.

Тасвевская антиклиналь (9) расположена в северо-восточном углу листа. Сложена в центральной части пермо--карбоновыми, а на крыльях юрскими отложениями. Имеет слабо выраженное асимметричное строение, обусловленное более крутым падением западного крыла.

Отложения, значительно отличающимися от вышеописанных по характеру структурного плана и особенностям тектонического строения, являются неогеновые галечники кирнаевской свиты. Эти галечники являются присклоновыми образованиями, возникшими в связи с молодыми поднятиями Енисейского кряжа. Галечники слагают вершины отдельных высот и выполняют депрессии в юрских и пермокарбоновых отложениях.

#### **ГЕОМОРФОЛОГИЯ**

Современный рельеф поверхности в пределах описываемой территории формировался в течение длительного времени. Общие особенности распространенных в районе типов рельефа определяются различием
в направлении и интенсивности проявления молодых тектонических
движений в пределах Сибирской платформы и Енисейского кряжа, а
также особенностями литологического состава и тектонических структур района. Основываясь на генетических признаках, в пределах листа 0-46-ХХІХ можно выделить четыре области с развитием следующих
категорий рельефа: эрозионно-тектонический, структурно-денудационный, денудационно-аккумулятивный и эрозионно-аккумулятивный.

## Эрозионно-тектонический рельеф

В пределах этой категории выделяется один морфогенетический тип — н и з к о г о р н ы й у в а л и с т ы й р е л ь е ф. Этот тип рельефа развит в западной части листа на площади распространения докембрийских метаморфических и магматических пород.

Основными морфологическими элементами этого типа являются отдельные высоты и цепочки высот, образующих короткие хребты с крутыми склонами и пологими вершинами. Абсолютные отметки высот здесь достигают 500 м при мексимальных относительных превышениях в 180-200м Отсутствие в большинстве случаев какой-либо закономерности в ориентировке как отдельных хребтов, так и систем хребтов объясняется однородностью механических свойств распространенных здесь пород. Лишь в отдельных случаях наблюдается четкое меридианальное простирание таких хребтов, определяемое простиранием крупных разломов, к которым на этих участках приурочены речные долины.

В юго-западной части листа отмечаются участки фиксированного рельефа в виде останцов поверхности выравнивания, представляющие собой достаточно обширные, ровные пространства на вершинах отдельных высот и хребтов.

Главные реки района — Бол. Веснина, мурма, Телькун — вместе с многочисленными притоками образуют сложную дендритовидную речную сеть. Долины главных рек в среднем течении имеют ящикообразую форму с крутыми бортами и ровной широкой поймой. К верховьям борта долин постепенно выполаживаются и при приближении к истокам границы между бортами долин и склонами водоразделов исчезают совершенно.

Основным фактором, обусловившим формирование рельефа этого типа, явилась эрозия, начало проявления которой относится к неогеновому времени. В это время Енисейский кряж испытывает резкое поднятие и подвергается интенсивному размыву, обусловившему формирование присклоновых фаций неогеновых галечников, протягивающихся узкой полосой вдоль восточного склона кряжа.

Новое поднятие Южно-Енисейский кряж испытал в самое последнее время. Это подтверждается процессами интенсивной регрессивной эрозии, наблюдаемой в приустьевых частях рек за пределами описывае мой территории.

## Структурно-денудационный рельеф

Структурно-денудационный рельеф развит в пределах платформы, площади распространения терригенно-карбонатных отложений протерозойско-кембрийского и кембрийского возраста. По сравнению с эро зионно-тектоническим рельефом, эта категория характеризуется меньшей степенью расчлененности и более мягкими формами. Абсолютные отметки высот здесь колеблются в пределах 250-350 м при относи - тельных превышениях 50-80 м.

В пределах этой категории выделяются кузстовый и валообразно-грядовый типы рельефа.

К у э с т о в и й р е л ь е ф ограничен площадью распро - странения терригенных протерозойско-кембрийских отложений, имеющих моноклинальное залегание. Здесь наблюдается ряд субпараллельно ориентированных кузстовых гребней северо-вападного простирения, с высотой, не превышающей 20-25 м. Крутизна юго-западных склонов таких гребней достигает 30°. Северо-восточные склоны более пологи, угол крутизны их не превышает 3-5°.

10.00

Валообразно-грядовый рельеф приуро-чен к области развития карбонатно-терригенных пород нижнего и верхнего кембрия. Представлен он парадлельными, линейными грядами с высотами от 50 до 80 м. Углы крутизны склонов таких гряд колеблются в пределах 15-20°, редко достигая 30°.

#### Денудационно-аккумулятивный рельеф

Площадь распространения денудационно-аккумулятивного рельефа охватывает северо-восточную часть листа, где преимущественным развитием пользуются рыхлые верхнепалеозойские и мезозойские отложения. По морфогенетическим признакам рельеф этой категории можно подразделить на два типа: холмисто-равнинный и рельеф останцовых плосковершинных возвышенностей.

Холмисто-равнин ный рельеф приурочен к центральной и восточной частям территории, где коренные породы представлены легко разрушаемыми осадочными толщами карбона, юры и меле. Эта часть района представляет собой слабо расчлененную холмистую разнину, прорезанную пологими речными долинами и сухими лотами. Абсолютные отметки положительных форм этого рельефа колеб - лются в пределах 200-300 м, постепенно понижаясь к востоку. Склоны возвышенностей очень длавные и пологие, незаметно переходящие в борта долин. Долины рек слабо выражены, поймы, как правило, заболочены.

Рельеф останцовых плосковершиных останиям в предгорной части Енисейского кряжа на песчаниках и конгломератах кирнаевской свиты неогена. Эти отложения, как отмечалось ранее, сформировались в эпоку последнего воздымения кряжа, представляют собой общирные конусы выноса, которые, слившись между собой, образовали полого наклонную предгорную равнину. В последующем эта равнина была расчленена на ряд плосковершинных останцов, ограниченных крутыми склонами долин, рак и балок. Абсолютные отметки здесь имеют значения 260-300м при относительных превышениях в 140 м.

#### Эрозионно-аккумулятивный рельеф

Эта категория рельефа развита в пределах долин наиболее крупных рек района - Усолки и Мурмы.

Долина р.Усолки пересекает восточную часть территории листа с юга на север, параллельно восточному склону Троицко-Михайловского вала. Усолка имеет корото разработанную долину шириной от 200 м до I км. Высота склонов бортов долины колеблется от 20 до I00 м. Сужение долины и повышение её коренных берегов наблюдаются обычно на участках развития кембрийских отложений и траппов. Поперечный профиль долины в большинстве случаев асимметричный с крутым высо-ким правым берегом и пологим низменным левым. В местах небольших расширений долины р.Усолки очень редко наблюдаются обрывки надпойменных террас.

Река Мурма в своих верховьях протекает в пределах распространения архейских образований. Долина реки здесь прямолинейна и четко ориентирована с севера на юг, что объясняется приуроченностью её к зоне разлома. Севернее, к этой же зоне приурочена долина р.Телькун, а к югу — долина р.Большой Весниной.

На участке, приуроченном к зоне разломе, долина Мурмы имеет U -образную форму с узкой поймой и крутыми бортами. С момента выхода реки за пределы распространения архейских образований характер долины резко меняется. Это уже значительно более пологая, участками асимметричная, долина с крутым правым и пологим левым бортом. Ширина поймы, развивающейся преимущественно вдоль левого борта, достигает участками 3-х км.

Основные водные артерии раиона имеют большое число мелких притоков. Строение долин таких притоков имеет много общего. Поперечный профиль долин симметричный, склоны пологие, днища почти пов семестно заболочены.

## полезные ископаемые

#### *POPOGNE NCKOHAEMHE*

### Нефть и горючие газы Газы горючие

Т н н н с с к о е п р о я в л е н и е ( 4 ). В опорной скважине, пробуренной трестом "Востсибнефтегеология" у д.Тыныс, в пределах тынысской антиклинальной структуры, при испытании интервала 156-850 м был получен приток горючего газа с содержанием углеводородов до 87%. Максимальный дебит скважины составлял 13000 м<sup>3</sup> в сутки. Давление на устье скважины достигало 70 атм. На этой же площади при бурении картировочной скважины в интервале 770-780 м был получен приток газа с максимальным дебитом I200 м<sup>8</sup> в сутки при пластовом давлении I8 атм. Обе скважины вскрывают карбонатные соленосные отложения нижнего кембрия.

Хандальское проявление (19) расположено к С.-В. от д.Хандала. Представлено естественными газовыми вы - ходами с незначительным дебитом. Выходящие гезы относятся к угле-кисло-углеводородно-азотной группе. Содержание углеводородного компонента в свободном гезе составляет 12%. Из-за незначительности масштаба практического значения проявление не имеет.

## Твердые горючие ископаемые Бурый уголь

В е р х н е у н ж и н с к о е м е с т о р о ж д е н и е(2) расположено в 2-х км западнее д.Унжа на правом берегу р.Мурмы. В крутом борту долины отмечаются выходы полублестящего угля мощностью 2-3 м. По простиранию пласт прослеживается на 200-250 м. Данные технического анализа лабораторной пробы следующие: влага — 3,92%, зола — 7,75%, летучие — 7,75%, кокс беззольный — 52,86%. Характер кокса порошкообразный. Угли месторождения используются в качестве топлива местной электростанцией и населением.

Верхнефиликтор ское проявление (5). В верховьях ключа Филликтор на глубине 7 метров встречен пласт бурого угля мощностью до 8 м. Уголь плотный плитчетый, участками сажистый. Проявление может быть рекомендовано для эксплуатации от крытым способом предприятиями местной промышленности.

Верхнемурмы в 8 км выше д.Ялай вскрывается пласт угля с видимой мощностью около I м. В 0.5 км выше по реке Мурма, в основании склона долины под серыми мелковернистыми песками пермо-карбонового возраста залегает пласт полукаменного матового угля. Мощность пласта 2.5 м. Результаты технического знализа угля следующие: влага — 8,84%, зола — 5.76%, сера — 0,5%, летучие 50%, летучие на органическую массу — 55,2%, характер кокса — пылевидный, содержание извлекаемых гуминовых кислот — 20,7%. В связи со значительной удаленностью от основных промышленных предприятий практического значения проявление не имеет.

Бартанасское проявление (3) связано с отложениями средней юры. Расположено на правом берегу р. Мурмы у д.Бартанас, где обнажается пласт угля мощностью до I м. Резуль-

таты технического анализа лабораторной пробы угля следующие: влага — 13,79%, зола — 4,08%, кокс — 46,59%,летучие на сухое вещество — 41,22%, сера на сухое вещество 0,73%, характер кокса — порошкообразный. Практического значения проявление не имеет.

# МЕТАЛЛИЧЕСКИЕ ИСКОПАЕМЫЕ Черные метали Лимонитовые руды

Рудянсков проявление (15) располагается у северо-восточной окраины д.Рудяной. Представлено линзами среднеорских песчаников мощностью 0,2-0,3 м, обломочный материал которых сцементирован лимонитовым цементом. Содержание цемента в отдельных разновидностях пород достигает 70%. Из-за малых масштабов оруденения практического интереса проявление не имеет.

#### Титан (ильменит)

Средне м урминская россыпь (20) связана с пойменными отложениями верхнечетвертичного возраста. Протя гивается по р.Мурмочке и р.Мурме до устья р.Муравинки. Протяжен ность россыпи 10 км. Ширина колеблется от 100 до 220 м. Мощность песков 0,9-2,1 м. Среднее содержание ильменита 17 кг/м<sup>3</sup>. Максимальное содержание 25 кг/м<sup>3</sup>. Наряду с ильменитом в россыпи присутствуют монацит, циркон и гранат.

Кроме того, ильменит содержится во всех шлихах, отобранных на площади распространения докембрийских метаморфических пород. Содержание ильменита колеблется от единичных знаков до сотен граммов на м<sup>3</sup>. Наряду с ильменитом, в большинстве шлиховых проб содержится рутил. Всвязи с низким содержанием ильменита практического интереса россыпь неимеет.

#### модх

Единичные зерна хромита обнаружены в отдельных шлихах в бассейне р.Бол.Веснины.

## Благородные металлы

#### Золото

Знаки волота встречаются в отдельных шлиховых пробах в бассейнах рр.Мурмы, Бол.Веснины, Шилки. Золото представлено окатанными пластинками размером 0,I-0,5 мм, в количестве I-2 внака на шлих.

#### Редкие металлы

#### Олово

Верхнехандальское проявление ( I4 ) выявлено при шлиховом опробовании аллювия реки Хандалы

Содержание касситерита в пределах ореола рассеяния колеблется от 4 до 30 зерен на шлих (0,015 м³ промытой породы), а в отдельных шлихах до 180 зерен на шлих. В центрельной части ореола выделяется участок долины, протяженностью до 3 км, где среднее содержание касситерита достигает 60 зерен на шлих. Касситерит представлен мелкими (0,1-0,4 мм) зернами темно-бурого, коричневого и черного цвета. Зерна в подавляющем большинстве угловатые.

Коренной источник питания касситеритовой россыпи не установлен. Наиболее вероятно, что тековым являются пегматитовые и высокотемпературные кварцевые жилы, широко распространенные в верховьях бассейна р. Хандалы.

#### Вольфрам

Ореол рассеяния шеслита отмечается в бассейнах рр. Телькун, Телькунок, Калкасет ( I ). Минерал представлен мелкими угловатыми и полуокатенными зернами размером 0, I-0, 5 мм. Содержание шеслита в шлихах колеблется от нескольких зерен до 150-200 зерен на шлих.

#### Ртуть

Киноварь в виде окатанных и угловатых единичных зерен отмечается в шлихах в системе притоков р.Бол.Веснины в среднем ее течении.

#### Редкие земли

Редкие земли цериевой группы и торий являются элементами, очень карактерными для Южно-Енисейского кряжа. Они концентрируются в монаците и цирконе.

#### Циркон

Циркон содержится в подавляющем большинстве шлиховых проб от единичных знаков до сотен знаков на шлих. Наибольшие концентрации эго отмечаются в среднем течении р.Бол.Веснины, где содержение циркона составляет 37-150 г/м³. Представлен бурыми, реже бесцветными слабо окатанными зернами, размером 0,1-0,8 мм.

#### Мона шит

Монацит отмечается во всех шлиховых пробех, отобранных в пределах распространения метаморфических и интрузивных пород. В бассейнах рр.Бол.Веснина ( 2I ), Слюдянки ( 24 ), Веснины ( 25 ) разведочными работами выявлены промышленные россыпи.

Характеристика вышеупомянутых россыпей приводится в таблице:

|                 | Параметры россыпай       |                   |                           |   |               |
|-----------------|--------------------------|-------------------|---------------------------|---|---------------|
| Месторождение   | Протяжен<br>ность<br>в м | в <b>м</b><br>В м | Мощность<br>песков<br>в м | Среднее<br>содержа-<br>ние в г/м <sup>3</sup> | Запась<br>в т |
| Бол. Веснинское | 26000                    | 170-200           | 3.5                       | 196   | 3100          |
| Слюдянское      | 20000                    | 60-I00            | 2,0-2,5                   | 172   | 712           |
| Веснинское      | 14000                    | IIO               | I                         | 163   | 570           |
| NTOFO           |                          | 177               |                           |   | 4382          |

Монецит в россыпях представлен кристаллами 0,1-0.5 мм различной степени окатанности. Цвет минерала медово-желтый, оранжевый, красный. Бласк жирный. В отдельных зернах наблюдаются включения циркона. Повышенное содержание монацита ( до 900 г/м³) отмечается на отдельных участках и в верховьях долины р.Мурмы и левых аё притоков.

Содержение монацита до 300 г/м<sup>8</sup> отмечается по долинам рр.Телькун и Телькунок.

#### НЕМЕТАЛЛИЧЕСКИЕ ИСКОПАЕМЫЕ Силикатные

#### Гранат

Гранат альмандинового ряда является постоянным компонентом в шлихах. Содержание граната в промышленных россыпях монацита достигает 100 кг/м<sup>3</sup>. При разработке монацитовых россыпей может извле - каться попутно для использования в качестве абразивного материала.

#### COIN

#### Поваренная соль

Пласты поваренной соли вскрыты скважинами колонкового бурения у дд.Тыныс, Мурма, Канарай, Караульная. Карбонатная толща нижнего кембрия содержит два соленосных горизонта. Первый соленосный горизонт, приуроченный к верхам разреза, имеет мощность от 100 до 475м.

Коэффициент соленосности горизонта 38-52% при общей мощности пластов каменной соли от 38 до 230 м.

Во втором соленосном горизонте пласты каменной соли имеют сум-марную мощность 1300 м. Коэффициент соленосности равен 70%.

Т и и и с с к о е м е с т о р о ж д е и и е ( 4 ) расположено в 4 км к юго-востоку от д.Тиныс. В результате бурения уста — навливаются два соленосных горизонта. Коэффициент верхнего соленосного горизонта по тынысской скважине составляет 33%. Мощность пластов каменной соли колеблется от I до 6 м. Нижний соленосный горизонт, залегающий в интервале глубин II29-3012 м имеет коэффициент соленасыщения 71%. Мощность пластов каменной соли колеблется от I до 75 м. Преобладают пласты мощностью от 3 до IO метров. По своему качеству каменная соль относится к I и П сортам, а отдельные пласты к высшему сорту. Ориентировочные геологические запасы верхнего горизонта исчисляются сотнями миллионов тони, ниж — него — IO-I5 млрд.тони.

М урминское месторождения ся в 2-3 км на северо-запад от д.Мурма. В пределах месторождения устанавливаются два соленосных горизонта. Суммарная мощность пластов верхнего горизонта составляет 300 м, нижнего — 150 м. Мини — мальная глубина залегания пластов 400 м. По качеству соль относится к I и П сортам. Ориентировочные запасы соли составляют не ме — нее 2 млрд.тонн.

Караульниностях д.Панушино. Буровыми скважинами вскрыта верхняя часть карбонатной толщи нижнего кембрия. В пределах месторождения выявлено ІЗ пластов соли мощностью от І до ІО м. Глубина залегания пластов каменной соли колеблется в пределах 335-500 м. Ориентировочные геологические запасы соли для шахтной добычи составляют 200-220 млн.тонн.

Канарай ское месторождения (22) располагается между дд. Большая Степь и Канарай. В пределах месторождения устанавливаются два соленосных горизонта. Верхний соленос ный горизонт содержит 24 пласта соли мощностью от I до 60 м. Преобладают пласты мощностью 3-5 м. Коэффициент соленасыщения гори зонта равен 31%. Глубина залегания соляных пластов колеблется от
600 до 900 м. Нижний соленосный горизонт на полную мощность не
вскрыт. Заслуживает внимания то обстоятельство, что в пластах соли нижнего горизонта отмечается наличие калийных солей в виде редких прожилков мощностью в 2-3 см. Ориентировочные геологические

запасы каменных солей верхнего соленосного горизонта месторожде-

Соль описанных месторождений имеет розовый, оранжевый, мясокрасный и серый цвет. Значительно реже встречаются водяно-проз рачные разновидности. Петрографическое изучение соли показало, что она имеет мономинеральный состав и представлена галитом, содержание которого в образцах колеблется от 98,4 до 99,8%. Нераствори мый остаток составляет от 0.2 до I.6% от веса породы и представ лен тонкорассеянным пелитовым веществом и ангидритом.

Содержание отдельных элементов ( в % ) в составе соли колеблется в следующих пределах: Ca''-0.02-0.035; Mg'-0.004-0.002; к 0.027-0.013; Na'-39.52-38.33; C1-60.34-59.41;  $S0'_4'-0-0.88$ . Содержание Nac1 на общую массу пробы колеблется от 97.36 до 99.87%

В пластах верхнего соленосного горизонта Канарайского место — рождения содержатся также бор, литий и рубидий в количествах со — ответственно 0.1, 0.1 и 0.06%.

#### Калийные соли

Тынысское проявление соли в пределах Тынысского кудения поисковых работ на калийные соли в пределах Тынысского купола выявлено проявление калийных солей, приуроченное к карбонатным отложениям нижнего кембрия. Мощность пласта обогащенного ка лийными солями превышает 5 м. Оруденение представлено темно-ро вовым и красным сильвином присутствующим в виде вкрапленности в
каменной соли. Распределение сильвина в пределах пласта неравно мерное. Максимальное содержание по визуальным определениям не превышает 7-10%.

## СТРОИТЕЛЬНЫЕ, ОГНЕУПОРНЫЕ И ДРУГИЕ МАТЕРИАЛЫ ${\tt N}$ зверженные породы

Основные породы ( траппы )

Ш умихинское месторождение (8) расположено у с.Тасеево, где в долине реки Усолки вскрывается плас товое тело траппов, обладающих высокой механической прочностью и
устойчивостью к выветриванию. Непосредственные выходы на поверх ность, близость к крупному населенному пункту и удобные подъезд ные пути делают условия эксплуатации месторождения весьма благо приятными.

В качестве строительного камня могут быть использованы гней - сограниты и гнейсы архейского возраста. Запасы этих пород практи-

чески неограничены, однако их удаленность от населенных пунктов и отсутствие удобных подъездных путей затрудняют эксплуатацию.

#### Карбонатные породы Известняки

улюкольское месторождение представляет собой пластовую залежь мелкокристаллических известняков темно-серого и розовато-серого цвета. Мощность залежи 20 м.

#### Глинистые пероды Глины кирпичные

№ и л л и к т о р с к о в м в с т о р о ж д в н и в ( 9 ) расположено на С.-З. окраине с.Тасевво. Полезным ископаемым являются пылеватые средние и тяжелые суглинки, залегающие на отложе ниях пермо-карбона. Средняя мощность суглинков З,5 м. Мощность
вскрыши О.5 м. По своим качествам суглинки отвечают требованиям
промышленности для изготовления строительного кирпича марки "75".
Они пригодны также для изготовления черепицы. Запасы суглинков
по категории А+В+Ст составляют 2066 тыс.м<sup>3</sup>.

Глины и суглинки, эксплуатируемые местным населением для своих нужд, отмечены в окрестностях дд.Вахрушево, Сухово, Кенарай. Глины со значительным содержанием каолина вскрываются карьером на правом берегу р.Мурмы в 2 км ниже р.Унжи. Для приготовления глинистых буровых растворов использовались глины, вскрытые на Тынысской структуре в 2,5 км юго-восточнее пересечения р.Мурмы Ка зачинским трактом.

#### Обломочные породы Галька и гравий

Наиболее крупные месторождения гальки и гравия связаны с отложениями кирнаевской свиты, а так же с аллювиальными отложениями рр. Усолки и Мурмы. Я лайское месторождение (I2) расположено на правом берегу р.Мурмы в 3-х км ниже д.Ялай. Представлено галечниками неогенового возраста, состоящими из гальки окремненных песчаников, гранитов, гнейсов, кварцитов. Галечники содержет до 20% песчаного материала. Видимая мощность галечников 7 м. Галечники пригодны для дорожного строительства.

Хандалинское месторождение (18) располагается у северной окраины д.Хендала. Представлено галечни-ками, состоящими из плохо отсортированной гальки окремненных песчаников, алевролитов и кварцитов. Максимальный диаметр гальки 20см.

Кроме перечисленных выше месторождений небольшие карьеры, вскрывающие гелечники, эксплуатируемые местным населением имеются в окрестностях дд. Бакчет, Сухово и с.Тасеево.

#### Песок строительный

Среднетасево у моста через р.Усолку, где в карьере вскрывеются песчано-гравийные отложения пермо-карбонового возраста.

Изучение проб песчано-гравийного материала показывает, что в смеси содержится I4.6% гравия и 85,4% песка. Гранулометрический состав песка (в %) следующий: фракция 2,5 мм - 9,5; I,2 мм - 7,6; 0,6 мм - I9,I; 0,3 мм - 28,4; 0,I5 мм - I5.I; 0,I5 мм - I9,5. Песок содержит до I0% глинистых частиц и сильно загрязнен органическими примесями. Запасы месторождения незначительны.

Кондрать в всков месторождение (23) расположено в 1,5 км к северо-западу от д.Кондратьево на берегу р.Топол. Здесь керьером вскрывается слой темно-серой песчано-гравийной смеси, содержащей 25% гравийно-галечного материала и 75% песка. Галька средней степени окатанности с максимальным диаметром в 3 см. Песчаный материал среднезернистый с содержанием глинистых частиц до 3,5%. Запасы песков незначительны.

Сивохинское месторождение (16) располагается в 3,5 км восточнее д.Сивохино. На левом борту долины
р.Хандалы горными выработками вскрыт пласт серых среднезернистых
кварц-полевошпатовых песков. Мощность вскрыши представленной суглинками составляет I-I,2 м. Мощность пласта песков превышает 5 м.

Шеломковское месторождение (27) располагается у восточной окраины д.Шеломки. На берегу р.Сред.То-пол в карьере под двухметровым слоем суглинков залегает песчано—-гравийный материал. Содержание гравийно-галечного материала до 50%. Содержание глинистых частиц 5%. Гравий удовлетворяет требованиям Г∪СТа 2779—50, т.е. пригоден в качестве наполнителя для обычных бетонов.

Кроме описанных выше месторождений, пески в незначительных масштабах эксплуатируются местным населением в окрестностях дд.Ма-карово, Бакчет, Бартанас, Найденово, Данилки.

#### Песчаник

М у р м и н с к о в м в с т о р о ж д в н и в (7) расположено на правом берегу р.Мурма в 3 км от устья. Представлено линзами крепких желтовато-серых среднезернистых кварц-полевошпатовых песчаников в тридцатиметровой толще среднеюрских песков. Лабора - торные испытания песчаников не производились. Ориентировочные запасы полезного ископаемого составляют не менее 300 тыс.м<sup>8</sup>.

Тасвевское месторождение (II) расподагается в с.Тасеево, где по обоим берегем реки Усолки обнажаются светло-серые песчаники пермокарбонового возраста. Местное население использует песчаники в качестве бутового камия. Запасы незначительны.

М в ж т о п о л ь с к о в м в с т о р о ж д в н и в (28) находится в 10 км юго-западнее с.Шеломки у дороги на д. Межтопольчик. Красно-бурые среднезернистые кварц-полевошпатовые песчаники кембрийского возраста вскрыты карьером на глубину 4 м. Местное население использует их в качестве бутового камня.

Кроме месторождений, описанных выше, местным населением в незначительных масштабах разрабатываются песчаники в окрестностях дд. Улюколь, Покровка, Рассол.

## прочие породы

Гипс и ангидрит

Улюколь ское месторождение эксплуатировалось кустарным способом. Анализ проб гипса показал высокое качество полезного ископаемого. Согласно требованиям промышленности, по срокам схватывания помола и прочности на растяжение сырье относится к I и П сортам формовочного и строительного гипса.

Тыны с с к о в месторождение (4) находится в 5 км в Ю.-В. от д. Тыныс, где при разбуривании Тынысской структуры в интервале глубин 42-80 м в кембрийских отложениях наблюдалось 8-9 пластов гипса мощностью от 0,5 до 2,3 м. Гипс полупрозрачный, серого цвета. Согласно существующим требованиям промышленности гипс относится к строительно-формовочным I и П сорта. Геологические запасы до глубины 100 м на площади 500х1000 м<sup>2</sup> ориентировочно составляют свыше 10 млн.тонн.

Пласты гипса на различных глубинах подсечены скважинами у с.Тасевю и дд.Канарай, Сухово. В отдельных пластах гипса содер жится стронций в количестве до 1%.

#### источники и лечебные соли

Соляные источники и рассолы

Соляные источники встречаются у д.Яковлево (6), у д.Рассол и между дд.Улюколь и Межтопольчик (26).

Первея группа источников ( 6 ) находится на левом берегу р. р.Усолки в 100 м выше устья р.Яковлевой. Источники непромышленны из-за незначительных дебитов и разубоженности пресными водами. В результате анализа рассолов получены следующие данные (в г/литр): сухой плотный остаток – 9,4;  $CO_3'$  – 0,388;  $SO_4$  – 1,328;  $HCO_3'$  – 0.634; Ce' – 3,762; Si  $O_2$  – 0,028; Ca – 0,488;  $P_2O_5$  – 0,015; Ms' – 0,106;  $K_1^2Ne'$  – 0,639.

Соляные источники в южной части района ( 26 ) связаны с карбонатными породами нижнего кембрия и приурочены к зонам разломов.
Дебит источников составляет 8-IO л/сек. Химический состав рассолов следующий ( в мг /литр): Са ~ 1049,3 - 1269,I; Мё ~ 219,8 205,5; С1 ~ 14114,7 - 17944,8; S 04 - 1633,3 - 1981,9; НСО3 189,7 - 178,9. Сухой остаток 20773,2 - 32200,0. Из рассолов
этих источников местное население выпаривает соль кустарным способом.

## ОБЩАЯ ОЦЕНКА ПЕРСПЕКТИВ РАЙОНА

Основными видами полезных ископаемых, на которые в пределах листа 0-46-XXIX проводились поисковые работы, являются монацит, каменные и бурые угли, поваренная соль, нефть и различные стройматериалы.

Учитывая изученность геологического строения района, можно говорить о перспективности его на следующие виды полезных ископаемых: нефть и горючие газы, калийные соли, олово.

К основным признакам, свидетельствующим о перспективности описываемой территории на нефть и горючие газы, относятся следующие:

- I. При проведении нефтепоисковых работ установлено повышенное содержание битумов в карбонатных породах нижнего кембрия. Это содержание составляет 0,2 0,4%, достигая в некоторых местах I,56%.
- 2. В пределах территории листо выявлены остественные газовые выходы углекисло-азотистых и углекисло-углеводородно-азотных га вов, приуроченные к антиклинальным структурам.
- З. При изучении углекислых вод, связанных с нижнекембрийскими отложениями, установлено присутствие в них брома, бора, иода и нафтеновых кислот, что характерно для вод нефтяных месторождений.
- 4. Наконец прямым указанием на наличие газа является газопроявление в пределах Тынысской антиклинальной структуры.

Нефтепоисковые работы на территории листа 0-46-XXIX проводи лись трестом "Востсибнефтегеология" в достаточно широких масшта бах. Однако, в процессе работ была выполнена, по-существу, первая часть задачи - оконтуривание и выявление формы и размеров положительных структур перспективных на нефть. Систематического разбу ривания глубокими скважинами благоприятных структур произведено не было. Между тем, первая же опорная скважина, пробуренная на Тынысской антиклинальной структуре, дала газ. В связи с вышеизложенным очередной задачей нефтепоисковых работ является изучение бодее глубоких горизонтов нижнекембрийских отложений в пределах подожительных структур, являющихся несомненно благоприятными для локализации в их пределах нефти и газа. Перспективность территории листа резко возрастает в связи с открытием Марковского нефтяного месторождения в Иркутской области. Значительный интерес представдяют аргиллиты в пермо-карбоновых и юрских отложениях, которые могут явиться сырьем для получения алюминия.

Перспективность территории листа на калийные соли определяется следующими данными:

- I. При проведении нефтепоисковых работ в целом ряде скважин было обнаружено повышенное содержание хлористого калия в промывочной жидкости от 6,57 до 7,45%.
- 2. При исследовании соленосных источников выявлены относительно высокие содержания калия в сухом остатке.

З. Возможность скопления промышленных залежей калийных солей подтверждается исследованиями солей по бром-хлорному коэффициенту.

Следует отметить, что нефтепоисковые скважины, керн которых изучен, пробурены на сводах положительных структур, т.е. в местах не благоприятных для накопления калийных солей. Наиболее перспективными являются центральные части синклинальных структур. В этой связи основными объектами изучения с целью поисков калийных солей, в пределах территории листа должны являться крупные отрицательные структуры, расположенные к востоку и западу от Троицко-Михайловского вала.

При проведении геологосъемочных работ Тасеевской партией в аллювии долины р.Хандала, в ее верховьях был обнаружен касситерит в шлихах с максимальным содержанием I4O знаков на шлих. Находка касситерита с такими высокими содержаниями сделена в Южно-Енисейском кряже впервые. Это рудопроявление вызывает значительный интерес и требует дельнейшего изучения. Изучение Хандалинского проявления касситерита должно, по мнению автора, осуществляться двумя путями:

- I. Детальное изучение аллювия в пределах речной долины, до плотика, в связи с возможностью обнаружения здесь касситеритовых россыпей.
- 2. Поисковые работы в пределах распространения докамбрийских пород, на площади примыкающей к бассейну р.Хандала, с целью выявления коренных источников касситерита.

Наряду с вышеперечисленным заслуживают дальнейшего изучения известняки нижнего кембрия как объект для химической промышленности, а так же халцедон-каолиновые образования, слагающие тушамскую свиту. В поле распространения последних шлиховым опробованием выпаляется золото. Не исключена возможность, что в халцедон-каоли новых образованиях содержется промышленные его концентрации.

Наряду с россыпями ильменита в аллювиальных четвертичных отложениях, в пределах листа возможно наличие древних ильменитовых россыпей, связанных с юрскими отложениями. Наиболее перспективными в этом смысле являются среднеюрские отложения, располагающиеся в непосредственной близости от склона Енисейского кряжа.

## подземные воды

на территории листа 0-46-XXIX выделяются два гидрогеологических района, различающиеся по условиям формирования и циркуляции подземных вод: Канско-Тасеевский артезианский бассейн и Енисейс-

#### кий гидрогоологический массив.

## Канско-Тасеевский артезианский бассейн

Восточная часть листа 0-46-XXIX, где распространены преиму щественно осадочные отложения, является в гидрогеологическом отношении частью крупного Канско-Тасеевского артезианского бассейна. По химизму, условиям питания, разгрузки и циркуляции вод в пределах бассейна выделяются пять водоносных комплексов пород:

- I. Водоносный комплекс пород третичных и четвертичных отложений.
- 2. Водоносный комплекс пород перможарбоновых, юрских и мело вых отложений.
  - 3. Водоносный комплекс пород верхнекембрийских отложений
  - 4. Водоносный комплекс пород нижнекембрийских отложений
- 5. Водоносный комплекс пород верхнепротерозойско-кембрийских отложений.

Водоносный комплекс третичных и четвертичных почеть вертичных отложений натерритории листа 0-46-ххіх имеет почти повсеместное развитие и является областью циркуляции грунтовых вод. Он представлен суглинками, глинами, песками, гравелитами. Мощность этих отложений не превышает 18-20 м. К этому же комплексу относятся неогеновые пески и галечники, мощность которых достигает 25-30 м.

Водовмещающими породами для этого комплекса служат пески, галечники, супеси.

Глубина залегания зеркала грунтовых вод колеблется в широких пределах от I до 5-6 м. Дебиты источников этих вод незначительны и, как правило, не превышают 0.1-0.2 л/сек.

По своим качествам воды этого комылекса пресные, проврачные, без цвета и запажа.

Степень минерализации до 0,5 г/литр. По типу минерализации воды гидрокарбонатно-кальциевые, реже гидрокарбонатно-хлоридно-кальциевые и гидрокарбонатно-сульфатно-кальциевые.

Питание грунтовых вод осуществляется за счет инфильтрации атмосферных осадков и, частично, за счет подпитывания из нижележа щих водоносных горизонтов.

Водоносный комплекс пород пермокарбоновых, юрских и меловых отложений с угловым и структурным несогласием залегает на отложениях кембрия. Литологически он представлен песками, песчаниками, алев - ролитами, аргиллитами. В нижней части комплекса содержатся бурые угли. Общая мощность пород этого комплекса достигает 600 м.

Водовмещающими породами комплекса являются пласты песков, песчаников и бурых углей. Водоупорами служат аргиллиты.

В пределах распространения пород описываемого комплекса циркулируют порово-пластовые и трещинно-пластовые воды. Глубина залегения отдельных водоносных горизонтов колеблется от 500 до 20м. Водообильность отдельных пластов комплекса не одинакова. Дебит источников колеблется от 0,1 до 3 л/сек. По типу минерализации воды этого комплекса гидрокарбонетные со степенью минерализации не более I г/литр.

Основным источником питания служат атмосферные осадки. Частичная разгрузка комплекса осуществляется по долинам притоков р.Усолки, а также по долине самой Усолки.

Водоносный комплекс пород верхнекембрийских отложений сложен, эвенкийской и илгинской свитами, представленные песчаниками, конгломератами, мергелями, алевролитами. Водовмещающими породами служат пласты песчаников и конгломератов, водоупорами - алевролиты и мергели. Глубина залегания отдельных водоносных горизонтов колеблется от 20 до 400-500 м. Воды бесцветные, безвкусные, с запахом сероводорода. В районе д.Контратьево нефтепоисковой скважиной вскрыты два водоносных горизонта на глубинах 19 м и 124 м, с дебитом около I50 л/мин. Жесткость вод колеблется в пределах 9,73-II, 32°, минерализация - в пределах 536,9-542.5 мг/литр. Тип вод гидрокарбонатно-натриевый.

Основным источником питания вод верхнекембрийского комплекса являются атмосферные осадки. Частичная разгрузка комплекса происжодит по долинам основных водотоков, протекающих как в пределах района, так и за его пределами.

Водоносный комплекс пород нижнекембрийских отложений представлен мощной толщей карбонатных осадков нижнего кембрия, содержащих пласты солей. Водоносные горизонты пород этого комплекса залегают на значительных глубинах. О жарактере вод этого комплекса можно судить по источникам, а также данным бурения при нефтепоисковых работах.

По степени минерализации подземные воды комплекса делятся на две группы: пресные и соленые. По химическому составу среди них раздичаются сульфатно-натриевый, хлорокальциевый и хлоромагниевый тип вод.

Сульфатно-натриевый тип вод формировался в условиях сравни - тельно неглубокого залегания, в свободной связи с поверхностными водами и обязан своим происхождением дренированию карбонатных или обогащенных карбонатами пород. Примером хлор-магниевых вод могут служить воды источников у д.Яковлевой. Минерализация этих вод достигает II,88 г/литр. Кроме того, в составе вод обнаружены бром, иод, бор и нафтеновые кислоты. Воды хлорокальциевого типа отмечаются в источнике у с. Тасеево. Воды источника слабо солоноватые с минерализацией I,5 г/литр. Химический анализ указывает на присутствие здесь значительных количеств хлоридов кальция.

При бурении нефтепоисковой скважины у д. Ново-Хандала в отло-жениях нижнекембрийского комплекса был вскрыт водоносный горизонт с дебитом 30 л/сек. Воды прозрачны, соленые на вкус, с минерализацией 168 г/литр. Жесткость 131,15°. В составе вод присутствуют NH<sub>4</sub>, NO<sub>2</sub>, Вг в количестве соответственно 64,73; 1,5; 0,02. По титру минерализации воды хлор-кальциевые, хлоридной группы.

Область питания нижнекембрийского водоносного комплекса приурочена к месту выхода карбонатных толщ на поверхность вдоль вос - точного склоне Енисейского кряжа. Основная резгрузка подземных вод комплекса происходит за пределами описываемой территории, в долинах рр.Тасеевой и Ангары. Область частичной разгрузки комплекса приурочена к структурам Троицко-Михайловского вала, где наблюдается большое количестве минерализованных источников, приуроченных к зонам трещиноватости и тектоническим нарушениям.

Водоносный комплекс пород верхнепротерозойско-кембрийских отложений представлен терригенными отложениями алешинской, чистяковской и мошаковской свит. Водовмещающими породами являются пласты песчеников. Особенностью этого комплекса является наличие напорных вод, обусловленное как общим погружением пород в сторону Канско-Тасеевской впадины, так и наличием водоупорных горизонтов.

Верхняя часть верхнепротерозойско-кембрийского разреза характеризуется слабой водообильностью. Дебиты наиболее крупных источников составляют 0,5-0,8 л/сек. Большей водообильностью обладают горизонты подземных вод, приуроченные к нижней части разреза. Воды этих горизонтов, как правило, напорны. Дебит фонтанирующих скважин составляет 6-9 л/сек.

По химическому составу воды этого комплекса хлоридно-гидрокарбонатно-натриевые и гидрокарбонатно-кальциевые с содержанием солей от 0,2 до I г/литр.

#### Енисейский гидрогеологический массив

Район, относящийся к этому массиву, охватывает восточный склон Южно-Енисейского кряжа. В метаморфических и изверженных породах докембрин циркулируют трещинно-грунтовые воды, приуроченные к зоне выветривения коренных пород, имеющей мощность 50-70 м, а так же к участкам тектонических нарушений.

Воды зоны выветривания существуют в виде бассейнов трещинных вод, носящих грунтовый характер. Подземные воды здесь имеют свободную поверхность. Область питания этих вод совпадает с областью накопления. Глубина залегания зеркала грунтовых вод на водоразделах составляет 15-20 м. На отдельных участках подземные воды полностью дренированы.

Водообильность метаморфических и изверженных пород в силу общности механических свойств и степени трещиноватости, в общем,одинакова. Источником питания подземных вод являются преимущественно атмосферные осадки. По жимическому составу подземные воды Енисейского гидрогеологического мессива относятся к пресным и ультра — -пресным гидрокарбонатно-кальциевым.

## литература Опубликованная

- I. Айнберг Л.Ф. К вопросу генезиса чарнокитов и пород чарнокитовой серии. Изв. АН СССР, серия геологическая, №4, 1955.
- 2. Богданович К.И. Геологические исследования вдоль Сибирской железной дороги в 1893 г. Горный журнал, т.Ш-ІУ, 1893—1894.
- 3. В о логдин А.Г. Нефтеносность Сибири. Тр. НГРИ, сер. А. вып. 91. 1938.
- 4, К о р о в и н М.К. "Угленосные районы Красноярского края". "Полезные ископаемые Красноярского края" Красноярск, 1937.
- 5. К и р и ч е н к о Г.И. О тектонической структуре Енисейского кряжа и о положении её в общей структуре района. Инф. сборник ВСЕГЕИ, I 1956.
- 6. К у з н е ц о в Ю.А. Петрология докембрия Южно-Енисейского кряжа. Материалы по геологии Западной Сибири, вып. 15,1941.
- 7. К у з н е ц о в Ю.А. Гранитные интрузии Южно-Енисейского кряжа. Изв. Томского индустриального института им. Кирова, т.62, вып.І. Томск. 1944.
- 8. К у з н е ц о в Ю.А. Докембрий Енисейского кряжа. Изв. АН СССР, серия геологическая. 1946.
- 9. К рас и лън и к о в Б.Н. О докембрийских краевых прогибах Сибири. Геология и геофизика № 6, 1963.
- 10. Пар фенов Ю.И. К вопросу о самостоятельности Немкинского интрузивного комплекса. Материалы по геологии и полез ным ископаемым Красноярского края. Красноярск, 1961.
- II. Репина Л.Н., Григорьев В.Н. Стратигра фия кембрийских отложений западной окраины Сибирской платформы. Изв. АН. СССР, сер.геол. № 7, 1956.
- I2. Семихатов М.А. Рифей и нижний кембрий Енисейского кряжа. АН. СССР, тр.ГИН, вып. 68. 1961.

#### Фондовая

- 13. Бритченко А.Д., Миронов И.И. Геологическое строение и вопросы нефтегазоносности западной части Канско-Тасеевской депрессии. 1952. Иркутские геол. фонды.
- 14. В о л о б у е в М.И. Определение абсолютного возраста магматических комплексов Енисейского кряжа и некоторые особен – ности их геохимии 1957-1959 гг. 1960. Красноярские геол. фонды.
- 15. Дедова В.В., Ляшенко Л.П. Месторождения строительных материалов Тасеевского, Двержинского, Канского, Иланского районов Красноярского края, 1957. Красноярские геол.фонды.
- жарков М.А., Комаров Л.Д. Геологическое строение и вопросы нефтегазоносности западной части Канско-Тасеевской депрессии. 1952. Иркутские геол.фонды.
- 17. Жарков М.А. Стратиграфия кембрийских отложений западной части Сибирской платформы. 1957. Иркутские геол.фонды.
- 18. Жарков М.А. и др. Геологическое строение и перспективы нефтегазоносности западной части Канско-Тасеевской депрессии. 1957. Иркутские геол. фонды.
- 19. Жарков м.А. Геологическое строение и перспективы нефтегазоносности юго-западной части Сибирской платформы и Рыбинской впадины. 1958. Иркутские геол. фонды.
- 20. Парфенов Ю.И., Гончаров Ю.И. Государственная геологическая карта СССР м-ба I:200000 листа 0-46-XXXУ (Объяснительная записка) I96I. Красноярские геол.фонды.
- 21. Стоянов А.Н., Парфенов Ю.И., Комаров В.В. Отчет Тасеевской партии по геолого-съемочным работам в северной части листа О-46-XXIX за 1961 г. 1962. Красноярские геол. фонды.
- 22. П л о т н и к о в Л.П. Отчет о результатах структурно--картировочного бурения на Кондратьевской площади. 1959. Иркутс кие геол.фонды.
- 23. П л о т н и к о в Л.П. Отчет о результатах структурно--картировочного бурения на Канарайской площади. 1959. Иркутские геол. фонды.
  - 24. Плотников Л.П. Отчет о результатах структурно-

- -картировочного бурения на Тынысской площади за 1956-1957 гг. 1958. Иркутские геол. фонды.
- 25. Предтеченский А.А. Отчет о работах Тасеевской геологической партии в районе д. Устье. 1938. Красноярские геол. фонды.
- 26. Свидерский В.А. Промежуточный отчет о поисках каменной соли в западной части Канско-Тасеевской депрессии за 1957-1958 гг. 1959. Красноярские геол.фонды.
- 27. Сулимов И.Н., Сингаевский Г.П. Геологическое строение и вопросы нефтегазоносности Тасеевского района. 1953. Красноярские геол.фонды.
- 28. Тазихин Н.Н. и др. Литология и стратиграфия верхнежей брийских и юрских отложений Тасеевского района. 1958. Красно-ярские геол.фонды.
- 29. Ф у к с Б.А. Геологический отчет о результатах струк турно-картировочного бурения на Караульнинской площади. 1958. Ир кутские геол. фонды.
- 30. Щ у п а к Д.М. Отчет с работах Иркутской аэромагнитной партии № 13/56, выполненных на территории Красноярского края в 1956 г. 1957. Иркутские геол.фонды.

## СПИСОК МАТЕРИАЛОВ, ИСПОЛЬЗОВАННЫХ ДЛЯ СОСТАВЛЕНИЯ КАРТЫ ПОЛЕЗНЫХ ИСКОПАЕМЫХ

| n/n | фамилия и инициалы<br>вдотав      | Название работы   | Год состав-<br>ления или<br>издания | Местонахождение<br>материала, его<br>фондовый номер |
|-----|-----------------------------------|---|-------------------------------------|---|
| I   | 2                                 | 3   | 4                                   | 5   |
| I   | Горбачев И.Ф.<br>Конева В.И.      | Отчет о геологических результатах колонкового<br>структурно-поискового бурения на Тынысской пло-<br>щади                  | 1961                                | г.Иркутск   |
| 2   | Дашкевич Н.Н.<br>Стародубцев Г.Г. | Аэрогеофи <b>зическая съемка и подземная проверка</b><br>аномалий в пределах листов О-46-Б и Р                            | 1962 -                              | г.Красно <b>ярс</b> к                               |
| 3   | Дедова В.В.<br>Ляшенко Л.П.       | Месторождения строительных материалов Тасеевс — кого,Дзержинского, Канского и Иланского районов Красноярского края        | 1957                                |   |
| +   | жарков М.А.                       | Геологическое строение и перспективы нефтегазо-<br>носности юго-западной части Сибирской платформы<br>и Рыбинской впадины | Pi                                  | г.Иркутск   |
|     |                                   |   |                                     |   |

|    | 2   | 3   | 4    | 5            |
|----|---|---|------|--------------|
| 5  | Жарков М.А.,Андре-<br>ев Р.Ю., Фонин И.Н.,<br>Попова Г.Н. | Геологическое строение и перспективы нефтега-<br>зоносности северо-западной части Канско-Тесе-<br>евской депресии | 1957 | г.Иркутск    |
| 6  | Жарков М.А., Кома-<br>ров Л.Д.                            | Геологическое строение и вопросы нефтегазо —<br>носности Западной части Канско-Тасеевской деп-<br>рессии          | 1952 |              |
| 7  | Жарков М.А.,Кузне-<br>цов В.И.                            | Отчет по попутным поискам Тасеевской геолого—<br>-поисковой партии за 1956—1957 гг.                               | 1958 |              |
| 8  | 8   | Кадастр полезных ископаемых Тасеевского района  |      | г.Красноярск |
| 9  | Корнев Т.Я., Пасаш-<br>никова Г.К.                        | Геологический отчет о работах Тасеевской поис-<br>ково-разведочной партии за 1956-1957 гг.                        | 1958 |              |
| [0 | Парфенов Ю.И., Гон-<br>чаров Ю.И.                         | Государственная геологическая карта масштаба<br>1:200000 листа 0-46-XXXV (Объяснительная за -<br>писка )          | 1961 |              |
| II | Лаломов В.А., Перя-<br>хин А.С.                           | Отчет о работах Кузеевской поисково-разведоч —<br>ной партии Таракской экспедиции КГУ за 1947 —<br>—1948гг.       | 1949 |              |
| 12 | Свидерский В.А.   | Промежуточный отчет о поисках каменной соли в<br>западной части Канско-Тасеевской депрессии за<br>1957-1958 гг.   | 1959 |              |

| I  | 2  | 3   | 4    | . 5          |
|----|--|---|------|--------------|
| 13 | Стоянов А.Н., Парфе-<br>нов Ю.И., Комаров В.В. | Отчет Тасеевской партии по геолого-съемоч-<br>ным работам в северной части листа О-46-XXIX<br>за 1961 г | 1962 | г.Красноярск |
| I4 | нов Г.М., Старыгин                             | Отчет Тасеевской партии по геолого-съемоч-<br>ным работам в южной части листа О-46-XXIX                 |      | e = =        |
|    | C.id.  | за 1960 г   | 1961 |              |
| 15 | Санжара И.А., Ивано-<br>ва А.В.                | Северная часть Канского буроугольного бас-<br>сейна   | 1951 |              |
| 16 | Сулимов И.П.,Синга-<br>евский Г.П.             | Геологическое строение и вопросы нефтега -<br>зоносности Тасеевского района                             | 1953 | г.Иркутск    |
| 17 | Суродин Н.И.                                   | Отчет Дзержинской поисково-разведочной пар-<br>тии по работам на Тасеевском месторождении               |      |              |
| -  |  | кирпичных суглинков в 1955 г  | 1956 | г.Красноярс  |
| 18 | Фукс Б.А.,Плотни-<br>ков Л.П.                  | Геологические результаты структурно-карти-<br>ровочного бурения на Мурминской площади                   | 1957 | г. Иркутск   |
| 19 | Ярмоленко А.С.                                 | Отчет о геолого-поисковых работах экспеди -<br>ции № I в верховьях р.Колон и Бол.Веснины                | 700  |              |
|    |  | в 1948 г  | 1949 | г.Красноярс  |
|    |  | ,   | I    |              |

СПИСОК ПРОМЫШЛЕННЫХ МЕСТОРОЖДЕНИЙ ПОЛЕЗНЫХ ИСКОПАЕМЫХ, ПОКАЗАННЫХ НА ЛИСТЕ 0-46-XXIX КАРТЫ ПОЛЕЗНЫХ ИСКОПАЕМЫХ МАСШТАБА I:200 000

Приложение 2

| №<br>по<br>кар<br>те | Индекс<br>клетки<br>на карте | Наименование месторождения<br>и вид полезного ископаемого | Состояние эксплуа-<br>тации | Тип месторож-<br>дения<br>(К-коренное)<br>(Р-россыпное) | ванного ма-<br>териала по |
|----------------------|------------------------------|---|-----------------------------|---|---------------------------|
| I                    | 2                            | 3   | 20 2104                     | 5   | 6                         |
|                      |                              | МЕТАЛЛИЧЕСКИЕ І   | ИСКОПАЕМЫЕ                  | -   |                           |
| 1                    |                              | Черные м<br>Титан (илы                                    | еталлы<br>менит)            |   |                           |
| 20                   | Π-I                          | Средне-Мурминское   | Не эксплуа-<br>тируется     | P   |                           |
| 1.000                |                              | Редкие м<br>Монацит                                       | еталлы                      |   |                           |
| 21                   | Ш-ІУ-І                       | Большевеснинское  | Не эксплуа-                 | P   | II                        |
| 24                   | 13-2                         | Слюдянсков  | тируется                    | P   | 19                        |
| 25                   | I <b>У-</b> 2                | Веснинское  | To me                       | P   | II                        |
|                      |                              | СОЛИ  |                             |   |                           |
|                      | -                            | Поваренная  | соль                        |   |                           |
| 4                    | I-3                          | Тынысское   | Не эксплуа-<br>тируется     | К   | I2                        |

| I · | . 2            | 3                | 4                       | 5     | 6            |
|-----|----------------|------------------|-------------------------|-------|--------------|
| 7   | I-4            | Мурминское       | Не эксплуа-             | К     | I2           |
| 17  | П-3            |                  | тируется                |       |              |
|     |                | Кара ульнинское  | To me                   | К     | 12           |
| 22  | Ш <b>-3-</b> 4 | Канарайское      | 1                       | К     | 12           |
|     |                | СТРОИТЕЛЬНЫЕ МАТ | ГЕРИАЛЫ                 |       |              |
| 7   | 1              | Изверженны е     | породы                  | 1     |              |
|     |                | Основные породы  | (траппы)                |       |              |
| 8   | I-4            | Шумихинское      | Не эксплуа-<br>тируется | K     | 13           |
|     |                | Карбонатны       | е породы                |       |              |
|     |                | Известняк        | EM .                    | 1 1   |              |
| 30  | 1y-4           | Улюкольское      | Не эксплуа-<br>тируется | К     | 3            |
|     |                | Глинистые        | породы                  |       |              |
| -4  |                | Глины кирп       | ичные                   | 10000 | h l menus. H |
| 9   | I-4            | Филликторское    | Не эксплуа-<br>тируется | К     | 17           |
|     | - 1            | Обломочные       | породы                  | 1 1   |              |
|     |                | Галька и гра     |                         |       | 11234        |
| 12  | п-1            | Ялайское         | , Не эксплуа-           | К     | TO           |
| 18  | П-4            | mononos          | тируется                | Δ.    | 13           |
| 10  | 11-4           | Хандалинское     | эксплуа-<br>тируется    | K     | 3            |
|     | - 1            |                  |                         | 1 1   |              |
| 1   | 1              |                  |                         | 1 1   | 1            |

| +                            |                           | Песок стро   | ительный                          |        |                |
|------------------------------|---------------------------|--|-----------------------------------|--------|----------------|
| 10<br>2 <b>3</b><br>27<br>16 | I-4<br>Ш-4<br>IУ-4<br>П-3 | Средне тасеевское<br>Кондратьевское<br>Шеломковское<br>Сивохинское | He эксплуа-<br>тируется,<br>To же | K<br>K | 13<br>14<br>14 |
|                              |                           |  |                                   |        |                |

## СПИСОК НЕПРОМЫШЛЕННЫХ МЕСТОРОЖДЕНИЙ ПОЛЕЗНЫХ ИСКОНАЕМЫХ, ПОКАЗАННЫХ НА ЛИСТЕ О-46-ХХІХ КАРТЫ ПОЛЕЗНЫХ ИСКОПАЕМЫХ МАСШТАБА I:200 000

| №<br>по<br>кар | Индекс<br>клетки<br>на карте | Наименование месторождения<br>и вид полезного ископаемого | Состояние эксплу-<br>атации  | Тип месторож-<br>дения<br>(К-коренное)<br>(Р-россыпное) | № использо-<br>ванного ма-<br>териала по<br>списку |
|----------------|------------------------------|---|------------------------------|---|--|
| I              | 2                            | 3   | 4 .                          | 5   | 6  |
|                |                              | ГОРЮЧИЕ ИСКОІ<br>Бурый уі                                 |                              |   |  |
| 2              | I <b>-</b> 2                 | Верхнеунжинское  СТРОИТЕЛЬНЫЕ МА Обломочные Песчания      | породы                       | ĸ   | 6,13   |
| 7              | I-4                          | Мурминское  | Не эксплуа-<br>тируется      | ĸ   | 13   |
| II             | I <b>-</b> 4                 | Тесеевское  | Эксплуатиру—<br>ется местным | К   | 13,8   |
| 28             | I <b>y-</b> 4                | Межтопольское   | населением<br>То же          | K-  | 14   |
|                | -                            | Прочие строител<br>Гипси ангидрит                         | ьные поро                    | ды  |  |
| 29             | I <b>y-</b> 4                | Улюкольское   | Не эксплуа-<br>тируется      |   | I4,8   |

| I | 2                           | 3                             | 4                                | 5 | . 6  |
|---|-----------------------------|-------------------------------|----------------------------------|---|------|
| 4 | I-3                         | Тынысское                     | Не эксплуатируется               |   | 1,12 |
| 5 | I <b>J-3</b><br>I <b>-4</b> | Рассольнинское<br>Яковлевское | Не эксплуати-<br>руется<br>То же |   | I4,8 |
|   |                             |                               |                                  |   |      |

## СПИСОК ПРОЯВЛЕНИЙ ПОЛЕЗНЫХ ИСКОПАЕМЫХ, ПОКАЗАННЫХ НА ЛИСТЕ О-46-ХХІХ КАРТЫ ПОЛЕЗНЫХ ИСКОПАЕМЫХ МАСШТАБА I:200 000

| № по<br>карте | Индекс<br>клетки на<br>карте | Название (местонахождение) про-<br>явлений и вид полезного ископа-<br>емого | Vonormon momento mnommanum                   | № использованного<br>материала по<br>списку (прилож.І) |
|---------------|------------------------------|---|--|--|
| 1             | 2                            | 3   | 4  | 5  |
|               |                              | POPOUNE M   | СКОПАЕМЫЕ                                    | -  |
|               |                              | Горичие   | LWSF   |  |
|               | 1                            | €   | Газовый фонтан из скважины с мак-            | 1  |
| 4             | I-3                          | Тынысское   | симальным дебитом 1200 м <sup>3</sup> /сутки | 5,6,1  |
| 19            | П-4                          | Хандальское   | Естественные выходы газа                     | 8  |
|               |                              | Твердые   | горючие                                      |  |
|               |                              | Бурый угол  | ъ  |  |
| 5             | I-3                          | Верхне-Филликторское  | Пласт угля мощностью 8 м вскры-              |  |
|               |                              |   | тый скважиной                                | 13   |
| 13            | ∏-I                          | Верхнемурминское  | Выходы углей в борту реки                    | 13   |
| 3             | I-3                          | Бартанасское  |  | 13   |
|               |                              | МЕТАЛЛИЧЕСК   | ИЕ ИСКОПАЕМЫЕ                                |  |
|               |                              | черные  | металлы                                      |  |
|               |                              |   | овые руды                                    |  |
| 15            | П-3                          | Рудянское   | железистые песчаники юрского воз-            | 4.9  |

| Редкие мет<br>Олово | аллы  |
|---------------------|---|
|                     |   |
|                     | рассеяния касситерита с мак-<br>ьным содержанием до 180 зерен<br>их |
| Вольфрам            |   |
|                     | рассеяния шеелита до 200 ве-<br>а шлих 13                           |

## COZEPXAHNE

|                         |      |   | CTP |
|-------------------------|------|---|-----|
| Введение                |      | • | 3   |
| Стратыграфия            | <br> | • | IO  |
| Интрузивные образования | <br> | • | 33  |
| Тектоника               | <br> | • | 39  |
| Геоморфология           | <br> |   | 47  |
| Полезные ископаемые     |      | • | 50  |
| Подземные воды          |      | • | 62  |
| Литература              |      | • | 67  |
| Приложения              |      |   | 70  |

## Редактор М.А.Трифонова Технический редактор Ц.С.Левитан Корректор Р.Н.Ларченко

Сдано в печать 9/IV I97I г. Подписано к печати I2/X I97I г. Тираж 200 экз. Формат 60х90/I6 Печ.л.5,0 Заказ 695с